

P.A. 1343

Portević Radivoj  
-1-  
Dizertacija

UNIVERZITET, GRAD BEOGRAD  
„СВЕДЕЋИ ИЗЛЕГУР“ - БЕОГРАД  
N. Br. 49.607

## VODJENJE PO POTEGU U PROJEKTILA PREMA SATELITU NA KRUŽNOJ PUTANJI

### U V O D

O vodjenju projektila po potezu i putanjama koje projektil tom prilikom prelazi postoje vrlo osnovna literatura. Najviše se o tom nalazi u [1], no samo u specijalnom slučaju kad se cilj kreće ravnomerno po prvoj liniji. No, i u tom slučaju postavljena je samo diferencijalna jednačina, na koju se kaže da se ne može rešiti kvadraturama, pa je dato samo približno rešenje razvijanjem u beskonačni red, bez ikakve matematičke analize funkcija.

Ovaj slučaj, kao specijalan slučaj opštog problema, obradio je do kraja i dao kompletan analizu prof. R. Kašanin, koji je izvesne rezultate saopštio u Matematičkom institutu Srpske akademije marta 1960 godine. Taj rad nije štampan, već se nalazi kao dokumentacija u Institutu za vojno-tehnička istraživanja. Ostali pisici uglavnom se bave tehničkom realizacijom servo-sistema, ne govoreci uopšte o matematičkom i kinematičkom aspektu kretanja projektila.

U ovom radu imosim rezultate do kojih sam došao razmatrajući vodjenje po potezu projektila prema satelitu na kružnoj putanji oko Zemlje. U odjelu I postavio sam diferencijalnu jednačinu trajektorije. Pošto se ona može integraliti u zatvorenom obliku samo u dva slučaja, to su prve obradile ta dva slučaja u odjelicima II i III. U odjelicima IV i V obradio sam dva slučaja kad se diferencijalna jednačina ne može rešiti u zatvorenom obliku, naime kad je satelit ili vrlo blizu Zemlji ili vrlo daleko od nje. Za ta dva slučaja dao sam približna rešenja, dovoljna za uobičajenu tačnost.

### I - VODJENJE PO POTEZU

1. OPŠTI PROBLEM. — Neka u preinvoljno izabranoj pravouglej koordinatnoj sistemu Axyz tačka  $\underline{M}$  predstavlja cilj koji se kreće po nekoj krivoj liniji  $L$  (slika 1.), a tačka  $P$  neka predstavlja dirigovani projektil. Sistem vodenja projektila po potagu sastoji se u tome da se tačka  $P$  nalazi u svakom trenutku na potegu  $AM$  tačke  $M$ . Pri tome je vektor položaja tačke  $M$  poznata funkcija vremena

$$\overrightarrow{AM} = \overrightarrow{R} = \vec{R}(t).$$

Ako sa  $\vec{e}$  označimo ort ovog vektora, tada

$$\overrightarrow{R} = R \cdot \vec{e},$$

pa differenciranjem po vremenu  $t$  dobivamo brzinu cilja  $M$

$$\overrightarrow{e} = \frac{d\overrightarrow{R}}{dt} = \frac{dR}{dt} \vec{e} + R \frac{d\vec{e}}{dt},$$

odakle je

$$e^2 = \left( \frac{dR}{dt} \right)^2 + R^2 \frac{d\vec{e}}{dt} \cdot \frac{d\vec{e}}{dt}.$$

Kako je vektor položaja tačke  $P$ :  $\overrightarrow{AP} = \overrightarrow{r}$  kolinearan sa ortom  $\vec{e}$ , te je  $\overrightarrow{r} = r \cdot \vec{e}$ , pa differenciranjem po vremenu  $t$  dobivamo brzinu tačke  $P$

$$\overrightarrow{v} = \frac{d\overrightarrow{r}}{dt} = \frac{dr}{dt} \vec{e} + r \frac{d\vec{e}}{dt},$$

odakle je

$$v^2 = \left( \frac{dr}{dt} \right)^2 + r^2 \frac{d\vec{e}}{dt} \cdot \frac{d\vec{e}}{dt}.$$

Stavimo li

$$\overrightarrow{w} = \frac{d\vec{e}}{dt}, \quad w = \left| \frac{d\vec{e}}{dt} \right|, \quad (1.1)$$

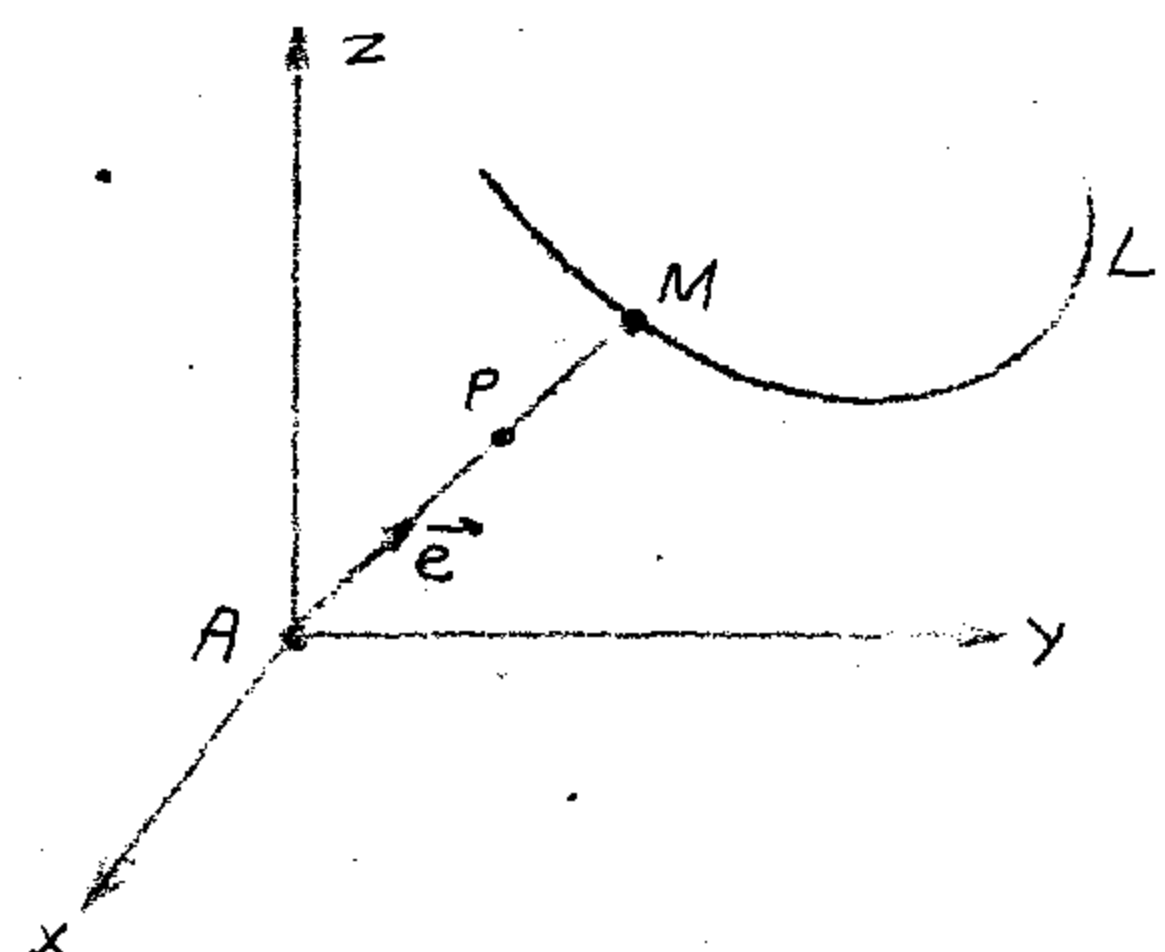
dobivamo

$$e^2 = \left( \frac{dR}{dt} \right)^2 + R^2 w^2, \quad v^2 = \left( \frac{dr}{dt} \right)^2 + r^2 w^2. \quad (1.2)$$

Veličina  $w$  predstavlja dvostruku površinsku brzinu savršene tačke orta  $\vec{e}$ . Zaista, kako je vektor te površinske brzine

$$\overrightarrow{s} = \frac{1}{2} \vec{e} \times \frac{d\vec{e}}{dt},$$

to je



Slika 1.

$$2S = \left| \vec{e} \times \frac{d\vec{e}}{dt} \right| = \left[ |\vec{e}|^2 \left| \frac{d\vec{e}}{dt} \right|^2 + (\vec{e} \cdot \frac{d\vec{e}}{dt})^2 \right]^{1/2},$$

ne kako je

$$|\vec{e}| = 1, \quad \vec{e} \cdot \frac{d\vec{e}}{dt} = 0,$$

dobivamo

$$2S = \left| \frac{d\vec{e}}{dt} \right| = w.$$

Što smo i tvrdili. Iz prve jednačine u (1.2) možemo w izračunati kao funkciju vremena t, jer predstavljamo da nam je poznato kretanje tačke M, tj. da imamo R i e kao funkcije vremena t.

Uvođemo kao novu nezavisnu promenljivu x, definisenu sa

$$x = \int_{t_0}^t w dt. \quad (1.3)$$

Timo je i, ohrnuto, t definisane kao funkcija od x, tj. t = F(x), pa imamo

$$\frac{dx}{dt} = w, \quad \frac{1}{w} = \frac{dt}{dx} = \frac{dF(x)}{dx} = F'(x).$$

Iz druge jednačine u (1.2) dobivamo onda

$$\left( \frac{dx}{dt} \right)^2 + x^2 = \frac{v^2(t)}{w^2(t)}, \quad (1.4)$$

tj., kako je t = F(x),

$$\left( \frac{dx}{dt} \right)^2 + x^2 = \{ F'(x) \cdot v[F(x)] \}^2 = v^2(x). \quad (1.5)$$

Ako se zna kakva je funkcija v od t, znaće se i kakva je od x, pa je diferencijalnom jednačinom (1.4) određeno v kao funkcija od x, tj. od t. Što se tiče koordinata smere vektora \vec{r}, oni su isti kao i kod vektora R, a ovi su poznati. Prema tome, sve se svedi na diferencijalnu jednačinu (1.5), u kojoj treba da v bude poznata funkcija od x.

2. PROBLEM U RAVNI. - Uzmimo da je kriva L, po kojoj se cilj M kreće, ravna kriva linijsa. Njenu ravan uzećemo za ravan Axy (slika 2.). Ako sa \theta označimo polarni ugao tačke M (on je u isti mjeri i polarni ugao tačke M), bice

$$\frac{d\vec{e}}{dt} = \frac{d\vec{e}}{d\theta} \frac{d\theta}{dt} = \vec{e}_1 \frac{d\theta}{dt},$$

gde je \vec{e}\_1 ort uprotiv paralelu \vec{e}. Prema tome, ovde je  $w = \frac{d\vec{e}}{dt}$  (2.1)

pa jednačina (1.3) daje

$$x = \theta - \theta_0; \quad dx = d\theta. \quad (2.2)$$

Diferencijalna jednačina (1.4),  
odnosno (1.5) glasi tako

$$\left(\frac{dr}{d\theta}\right)^2 + r^2 = \frac{r^2}{\mu^2} - \dot{\theta}^2 (0-a_e). \quad (2.3)$$

Ova određuje  $r$  kao funkciju od  $\theta$ , tj. putanju tačke  $P$ . Polarni ugao  $\theta$  je poznata funkcija vremena  $t$ , jer je  $\theta$  polarni ugao i tačke  $M$ , čije jednačine kretanja pretpostavljamo da su poznate.

### 3. ZEMLJIN SATELIT NA KRUGNOJ PUTANJI.

Dajmo sada nešto detaljnije razgovor o ovom problemu. Uzmimo da se satelit kreće po krugu poluprečnika  $a > a_e$  sa središtem u središtu Zemlje, a projektil (tačka  $P$ ) vodi se po potagu iz tačke  $A$  na površini Zemlje, i to tako da se tačka  $A$  nalazi u ravni putanje satelita; rotaciju Zemlje pri tom ne uzimamo u obzir.

Topocentrični koordinatni sistem  $Axy$  postavimo u ravni kretanja satelita  $M$  tako da se  $x$ -osovina nalazi u preseku ove ravni sa ravni horizonta mesta  $A$ , a  $y$ -osovina u pravcu zenita ovog mesta. Orientisano koordinatni sistem tako da kretanje satelita bude obrnuto od kretanja zemaljke na satu. Ostale znake vide se iz slike 3.

Za veštacki satelit važi treći Keplerov zakon, po kome je, ako masu satelita uzmemo u odnosu na masu Zemlje,  $a^3 \omega^2 = fM$ , ( $f = 6,665 \cdot 10^{-8} \text{ gr}^{-1} \text{ cm}^3 \text{ sec}^{-2}$ ,  $M = 5,977 \cdot 10^{27} \text{ gr}$  = masa Zemlje), gde je  $\omega$  ugona brzina satelita. Iz slike 3. imamo

$$\sin \alpha = \frac{a_e}{a} = \lambda. \quad (3.1)$$

Pomoću  $\lambda$ , treći Keplerov zakon glasi

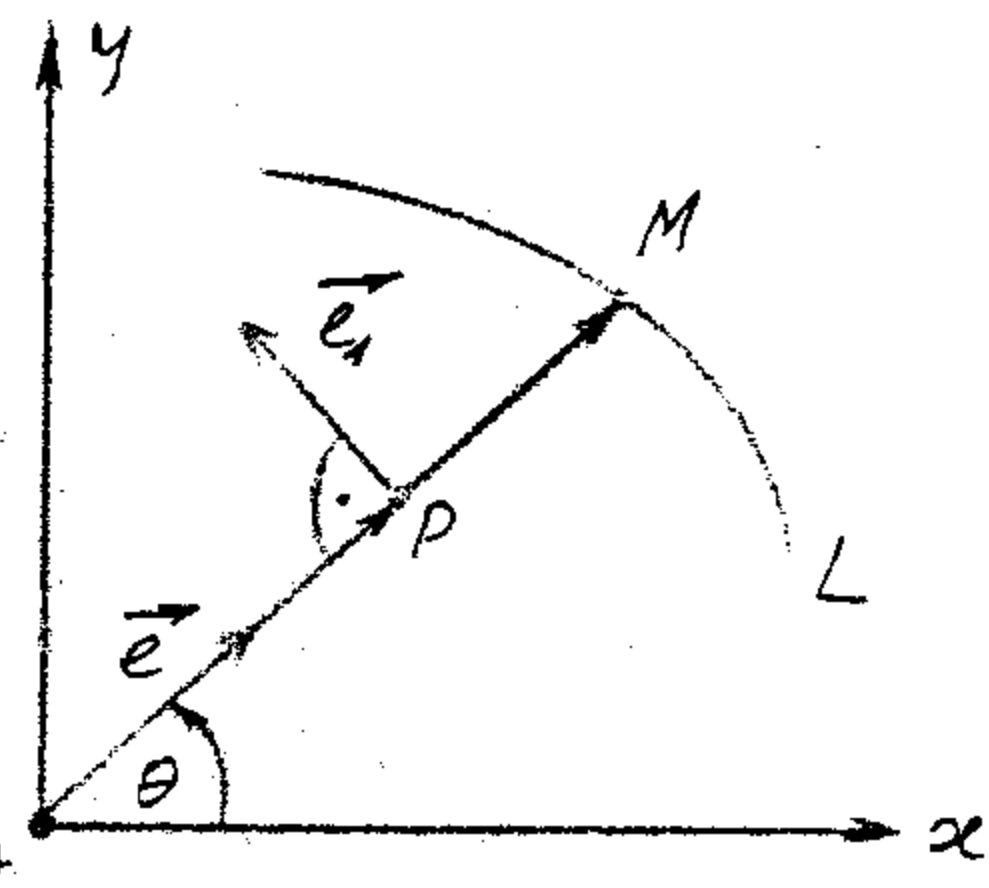
$$\omega \lambda^{-3/2} = \sqrt{\frac{fM}{a_e^3}} = 1,242 \cdot 10^{-3} \text{ sec}^{-1}, \quad (3.2)$$

ako uzmemo  $a_e = 6,368 \cdot 10^6 \text{ cm}$ . Prema tome, između  $\omega$  i  $\lambda$  postoji veza (3.2). Radi kraćeg pisanja mićemo se i nadalje služiti i sa  $\omega$  i sa  $\lambda$ , no treba pri tom uvek imati na umu relaciju (3.2).

Neka satelit bude u trenutku  $\varphi$  na horizontu u tački  $M_0$ . Ako sa  $t$  označimo trenutak kada je on u tački  $M$ , bit će

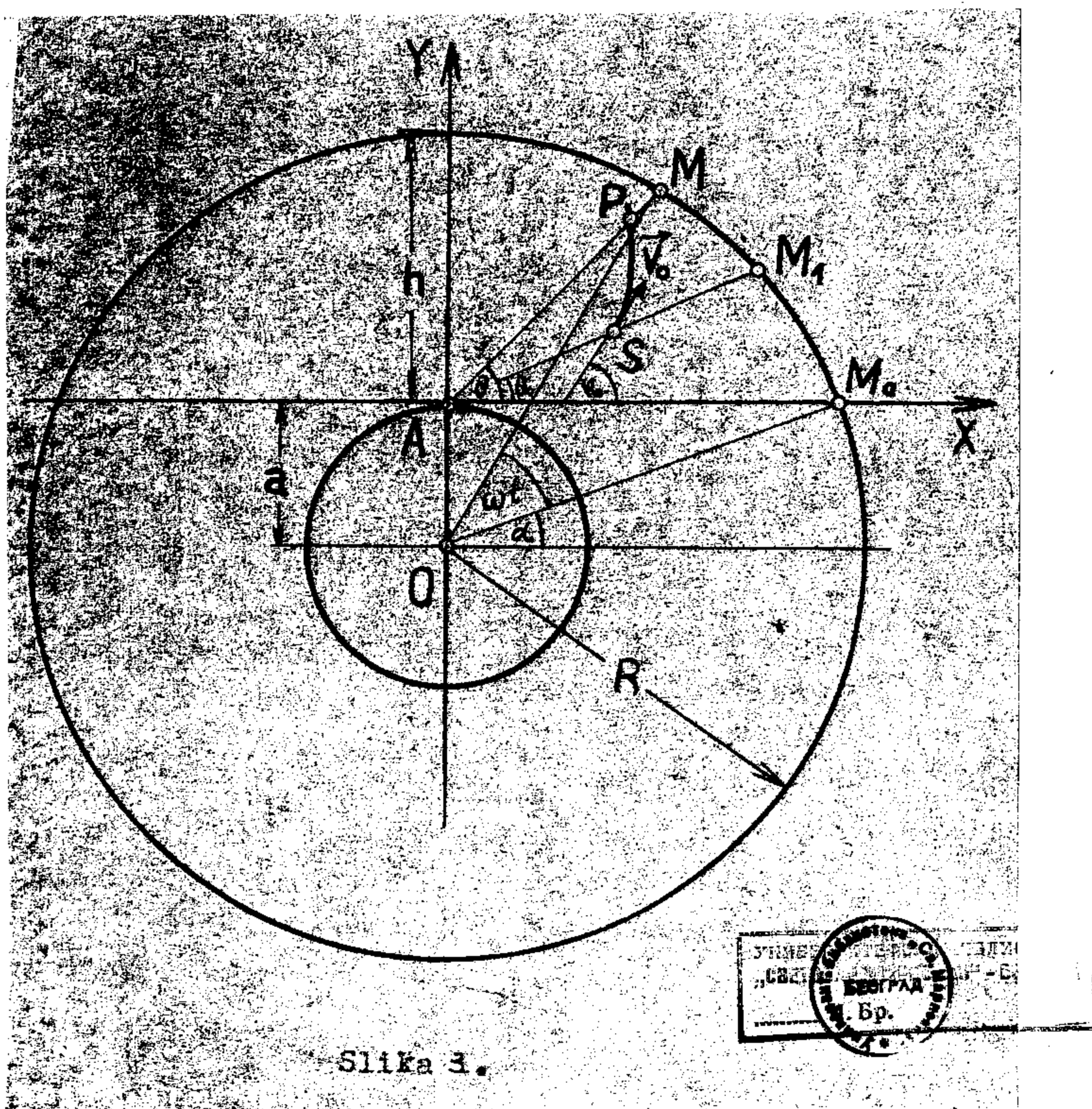
$$\tau = \omega(t - \varphi) + \alpha. \quad (3.3)$$

Jednačine kretanja tačke  $M$  u koordinatnom sistemu  $Axy$  su (sl.3)



Slika 2.

Konkretni problem  
koji ćemo dalje obrazovati



$$\begin{aligned} X &= a \cos \tau = a \cos [\omega(t - \tau) + \alpha], \\ Y &= a \sin \tau - a_0 = a \sin [\omega(t - \tau) + \alpha] - a_0. \end{aligned} \quad \left. \right\} \quad (3.4)$$

Polarni poteg  $R = \sqrt{X^2 + Y^2}$  određen je (3.3.) sa

$$R^2 = a^2 + a_0^2 - 2a \cdot a_0 \sin \tau = a^2(1 + \lambda^2 - 2\lambda \sin \tau),$$

tj.

$$R = a \sqrt{1 + \lambda^2 - 2\lambda \sin \tau}. \quad (3.5)$$

Z a polarni ugao  $\theta$  u sistemu Axy imamo  $\tan \theta = Y/X$ , tj., na osnovi (3.4) i (3.3),

$$\tan \theta = \frac{\sin \tau - \lambda}{\cos \tau}. \quad (3.6)$$

Tako su sa (3.4) i sa (3.5) i (3.6) određene u sistemu Axy i ortogonalne i polarnе координате antelita  $\underline{M}$  kao funkcije vremena  $\tau$ , sa poznatim veličinama  $a$ ,  $\omega$  i  $\lambda$ .

Iz (3.6) dobivamo

$$\sin \theta \cos \theta = \sin \tau \cos \theta - \lambda \cos \theta,$$

te jo

$$\sin(\tau - \theta) = \lambda \cos \theta, \quad (3.7)$$

t.j., u eksplicitnom obliku,

$$\tau = \theta + \arcsin(\lambda \cos \theta). \quad (3.8)$$

Na taj način, uzevši u obzir (3.3), pokazano je kako se  $\underline{x}$  može izračunati iz  $\theta$ .

Indika  $\underline{P}$  (projektil) ima isti polarni ugao  $\theta$  kaš i cilj  $\underline{M}$ , te jednačine (3.6) i (3.7) (odnosno (3.8)) valje i za nju, tj. polarni ugao projektila  $\underline{P}$  je poznata funkcija vremena  $\tau$ . Ostaje nam još da odredimo i polarni poteg  $\underline{x}$  projektila  $\underline{P}$ , za što danu upotrebiti jednačinu (2.3), kojom je u stvari određena trajektorija tačke  $\underline{P}$ . Na osnovi (2.1), (3.3) i (3.8) imamo

$$\dot{\tau} = \frac{dx}{d\theta} = \frac{1}{\omega} \frac{d\tau}{d\theta} = \frac{1}{\omega} \left( 1 - \frac{\lambda \sin \theta}{\sqrt{1 - \lambda^2 \cos^2 \theta}} \right),$$

tako da jednačina (2.3) postaje

$$\left( \frac{dx}{d\theta} \right)^2 + x^2 = U^2, \quad (3.9)$$

$$U = \frac{Y}{\omega} \left( 1 - \frac{\lambda \sin \theta}{\sqrt{1 - \lambda^2 \cos^2 \theta}} \right). \quad (3.10)$$

U ovom obrazcu izraz

$$\frac{\lambda \sin \theta}{\sqrt{1 - \lambda^2 \cos^2 \theta}}$$

predstavlja presenu realike uglova  $\theta - \tau$ , nazima  $\frac{d(\theta - \tau)}{d\theta}$ , pa kako je ova presuna pozitivna u intervalu  $0 < \theta < \pi$ , te pred konznom treba uzimati pozitivan znak.

Da bi se diferencijalna jednačina (3.9) mogla rešavati, potrebne je znati kakva je funkcija ed  $\theta$  brzina  $\underline{v}$  projektila.

Uostalom, možemo je znati i kao funkciju vremena  $t$ , jer će se onda, pomoću (3.8) i (3.1), dobiti i kakva je funkcija od  $\theta$ .

Razmatranju jednačine (3.9) može se pristupiti sa dva gledišta. Prvo je da  $v$  damo kao funkciju od  $\theta$  (odnosceno od  $t$ ), pa da tu diferencijalnu jednačinu ispitujemo i rešavamo. Međutim, mali je broj slučajeva kad se ta diferencijalna jednačina sa datim  $U(\theta)$  može rešavati posredu kvadraturu. Zato, možemo podi sa drugog gledišta: uzeti za  $U(\theta)$  takvu funkciju kada znamo rešiti jednačinu (3.9) kvadraturama, pa tako, na osnovi (3.10), projektelu  $P$  nametnuti brzinu

$$v = \omega U(\theta) \cdot \left(1 - \frac{\lambda \sin \theta}{\sqrt{1 - \lambda^2 \cos^2 \theta}}\right)^{-1}. \quad (3.11)$$

Mi ćemo peći prvo sa drugog gledišta, tj. birati funkciju  $U(\theta)$  (odeljak II i III). Zatim ćemo uzeti da je  $v$  konstantno, pa dati približna rešenja za male  $\lambda$  (odeljak IV) i za male  $1 - \lambda$  (odeljak V).

## II - SITUĀJ KADA JE $U(\Theta) = K$

4. TRAJEKTORIJA PROJEKTILA. — Ako uzmemo da je funkcija  $U(\Theta)$  konstantna, pa stavimo gornju vrednost  $U(\Theta) = K$  u diferencijalnu jednačinu (3.9) čime postaje

$$\left( \frac{d\Theta}{dt} \right)^2 - r^2 = K^2, \quad (4.1)$$

pa iz (3.11) dobivamo da je

$$v = K \omega \left( 1 - \frac{\lambda \sin \Theta}{\sqrt{1 + \lambda^2 \cos^2 \Theta}} \right)^{-1}.$$

Nedjutim, iz (3.6) imamo vezu između polarnog ugla  $\Theta$  i ugla  $\tau$ :

$$\tan \Theta = \frac{\sin \tau - \lambda}{\cos \tau},$$

pa ako  $\sin \Theta$  i  $\cos \Theta$  izrazimo preko  $\tan \Theta$ , dobivamo, posle sredjivanja,

$$v = K \omega \frac{1 - \lambda \sin \tau}{1 + \lambda^2 - 2 \lambda \sin \tau}. \quad (4.2)$$

Pri nešto predjemo na ispitivanje ove funkcije, možemo odrediti konstantu  $K$  iz uslova da je u početnom trenutku  $t=t_0$ ,  $\tau=\tau_0 = \omega t_0 + \alpha$ , ako vreme računamo od trenutka kada se cilj pojavljuje u horizontu naesta  $A$ , tj. ako u (3.3) stavimo da je  $\ell = 0$ . Ako je  $v_0$  brzina projektila u trenutku  $t_0$ , onda je

$$K = \frac{v_0}{\omega} \frac{1 + \lambda^2 - 2 \lambda \sin \tau_0}{1 - \sin \tau_0}.$$

Stavimo li

$$\frac{1}{\omega} \frac{dv}{dt} = \frac{1 - \lambda \sin \tau}{1 + \lambda^2 - 2 \lambda \sin \tau} = P(\tau), \quad (4.3)$$

bice

$$K = \frac{v_0}{\omega P(\tau)} = \frac{v_0}{P(\alpha)}. \quad (4.4)$$

Ako za početni trenutak uzmemo  $t=0$ , kada je cilj u horizontu, onda je  $\tau_0 = \alpha$ ,  $\sin \tau_0 = \sin \alpha = \lambda$  (prema (3.1)), pa je  $P(\tau_0) = P(\alpha) = 1$ ,

i

$$K = v_0 / \omega. \quad (4.5)$$

Vratimo se funkciji  $P(\tau)$  iz (4.3). Izraz (4.2) može se napisati u obliku  $v = K \omega P(\tau)$ .  $P(\tau)$  je neprekidna periodična funkcija sa periodom  $2\pi$ . Kako je

$$P'(\tau) = \frac{\lambda(1 - \lambda^2) \cos \tau}{(1 + \lambda^2 - 2 \lambda \sin \tau)^2},$$

te vidimo da kriva u intervalu  $(0, 2\pi)$  ima dva ekstremuma, i to za  $\tau_1 = \pi/2$  i  $\tau_2 = 3\pi/2$ . Iz izraza

$$P''(\tau) = \lambda(1 - \lambda^2) \frac{2\lambda(1 + \cos^2 \tau) - \sin \tau(1 + \lambda^2)}{(1 + \lambda^2 - 2 \lambda \sin \tau)^3}$$

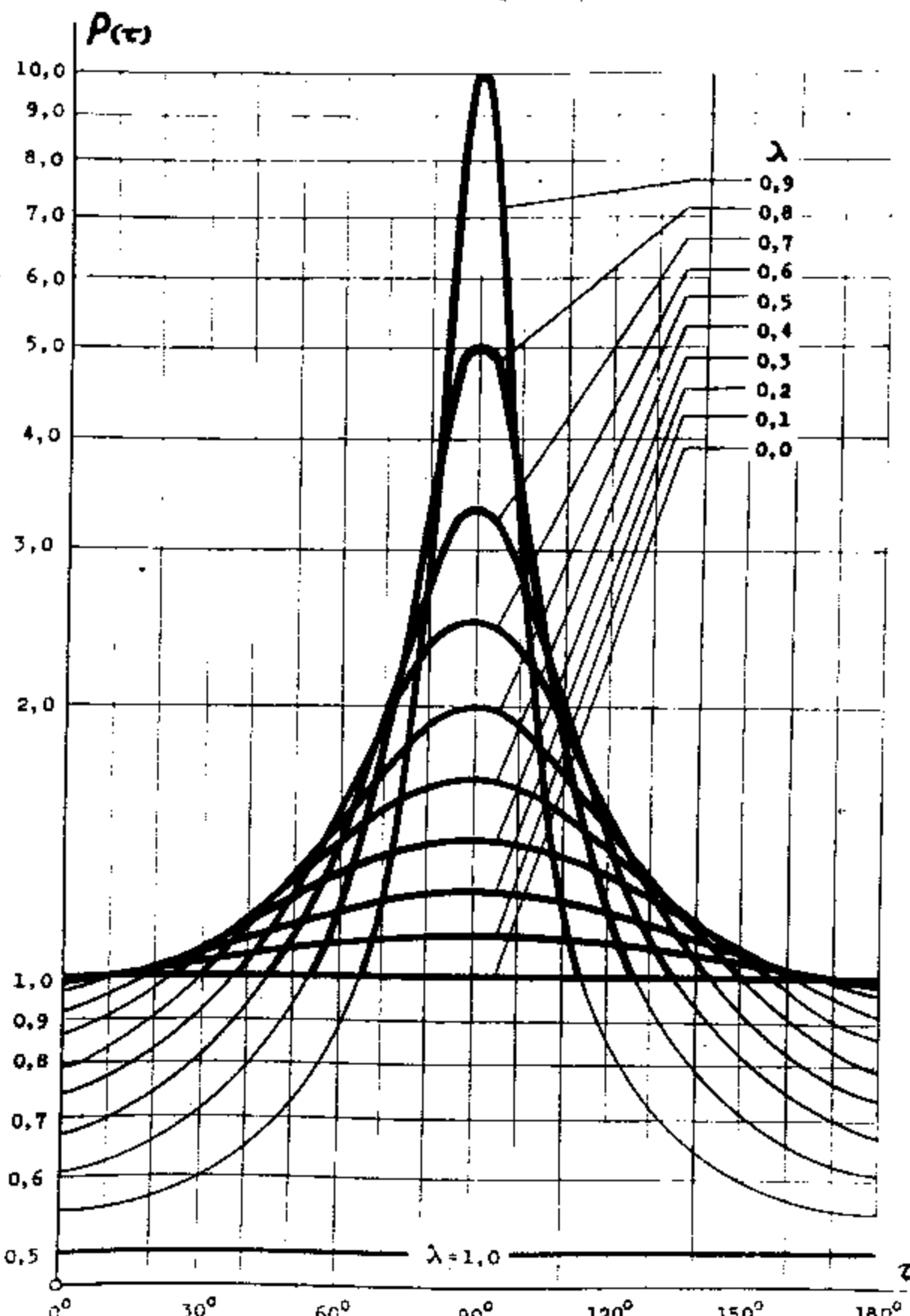
vidimo da je, zbog  $0 < \lambda < 1$ ,

$$P''(\pi/2) = -\frac{\lambda(1+\lambda)}{(1-\lambda)^3} < 0, \quad P''(3\pi/2) = \frac{\lambda(1-\lambda)}{(1+\lambda)^3} > 0,$$

odakle izlazi da je najveća vrednost funkcije  $P(\tau)$ :  $\max P(\tau) = P(\pi/2) = \frac{1}{1-\lambda}$ , a njena najmanja vrednost  $\min P(\tau) = P(3\pi/2) = \frac{1}{1+\lambda}$ . Međutim, nama nije potrebna cela funkcija  $P(\tau)$ , već samo njen deo za one vrednosti ugla  $\tau$  za koje se cilj nalazi nad horizontom mesta A, (sl.3), a te je dok je

$$\alpha \leq \tau \leq \pi - \alpha \quad (4.6)$$

Vrednosti ugla  $\alpha$  sa ravnim vrednostima parametra  $\lambda$  prikazane su u



Slika 4.

Tablici 1., dok se gornja i donja granica intervala u kome se može nalaziti  $\tau$  vide iz Tablice 2. Što se tiče samog dijagrama funkcije  $P(\tau)$ , on se vidi sa slike 4., gde je insertan deo krive, koji odgovara vrednostima  $\tau$  iz intervala  $(0, \pi)$ . Osim toga, zbog velikih vrednosti maksimalne tačke krive, za ordinate je uzeta logaritamska podela. Iz Tablice 3., koja daje vrednosti maksimuma i minimuma krive  $P(\tau)$ , vidi se da vrednosti maksimuma za  $\tau = \pi/2$  brzo rastu ukoliko je vrednost parametra  $\lambda$  bliža jedinici. U praksi, gde visina voštackog satelita nad površinom Zemlje ne prelazi 500 km, vrednosti  $\lambda$  se nalaze izmedju 0,9 i 1,0 (vidi Tablicu 4.), tako da brzina projektila brzo raste ukoliko se  $\tau$  više približava vrednosti  $\pi/2$ , što

znači da treba težiti za tim da se cilj pogodi niže nad horizontom, pre no što vrednost funkcije  $P(\tau)$  dostigne svoj maksimum za  $\tau = \pi/2$ . Osim toga, odnos početne i krajnje brzine (u tački u kojoj projektil pogodja cilj) može se smanjiti i na taj način što će projektil početi svoje kretanje kada početni ugao  $\tau_0$  dostigne izvezenu vrednost veću od ugla  $\alpha$ , koji ima kad se cilj nalazi u horizontu mesta A.

Vratimo se sada diferencijalnoj jednačini (4.1). Kako je, posle razdvajanja promenljivih,

T a b l i c a 1.

$\lambda$	0,1	0,2	0,3	0,4	0,5	0,6	0,7	0,8	0,9
$\alpha^\circ$	5,8	11,5	17,5	23,6	30,0	36,9	44,4	53,1	64,2
$\lambda$	0,91	0,92	0,93	0,94	0,95	0,96	0,97	0,98	0,99
$\alpha^\circ$	65,5	66,9	68,4	70,1	71,8	73,7	75,9	78,5	81,9

T a b l i c a 2.

$\lambda$	0,1	0,2	0,3	0,4	0,5	0,6	0,7	0,8	0,9
$T^\circ_{min}$	5,8	11,5	17,5	23,6	30,0	36,9	44,4	53,1	64,2
$T^\circ_{max}$	174,2	168,5	162,5	156,4	150,0	143,1	135,6	126,9	115,8
$\Delta T^\circ$	168,4	157,0	145,0	132,8	120,0	106,2	91,2	73,8	51,6
$\lambda$	0,91	0,92	0,93	0,94	0,95	0,96	0,97	0,98	0,99
$T^\circ_{min}$	65,5	66,9	68,4	70,1	71,8	73,7	75,9	78,5	81,9
$T^\circ_{max}$	114,5	113,1	111,6	109,9	108,2	106,3	104,1	101,5	98,1
$\Delta T^\circ$	49,0	46,2	43,2	39,8	36,4	32,6	28,2	23,0	16,2

T a b l i c a 3.

$\lambda$	0,1	0,2	0,3	0,4	0,5	0,6	0,7	0,8	0,9
Max P( $T$ )	1,11	1,25	1,43	1,67	2,00	2,50	3,33	5,00	10,0
Min P( $T$ )	0,91	0,83	0,77	0,72	0,67	0,63	0,59	0,56	0,53
$\lambda$	0,91	0,92	0,93	0,94	0,95	0,96	0,97	0,98	0,99
Max P( $T$ )	11,1	12,5	14,3	16,7	20,0	25,0	33,3	50,0	100
Min P( $T$ )	0,52	0,52	0,52	0,52	0,52	0,52	0,52	0,50	0,50

T a b l i c a 4.

$\lambda$	0,1	0,2	0,3	0,4	0,5	0,6	0,7	0,8	0,9
$n$ (km)	57330	25481	14863	9555	6370	4247	2730	1593	707
$\lambda$	0,91	0,92	0,93	0,94	0,95	0,96	0,97	0,98	0,99
$n$ (km)	630	650	480	410	340	270	200	130	70

$$\frac{dx}{\sqrt{K^2 - r^2}} = d\theta,$$

te se integracijom dobiva

$$\arcsin\left(\frac{x}{K}\right) = \theta - \theta_0 + \arcsin\left(\frac{x_0}{K}\right),$$

pošto smo pred korenem uzeli pozitivan znak, jer vektor položaja  $\underline{r}$  treba da se povećava kada polarni ugao raste.

Stavimo li

$$\arcsin\left(\frac{x_0}{K}\right) = \theta_1, \quad x_0 = K \sin \theta_1, \quad (4.7)$$

biće jednačina trajektorije projektila

$$r = K \sin(\theta - \theta_0 + \theta_1). \quad (4.8)$$

Jednačina (4.8) predstavlja krug poluprečnika

$$s = K/2, \quad (4.9)$$

sa centrom u tački čije su koordinate

$$x_C = -\frac{K \sin(\theta_0 - \theta_1)}{2}, \quad y_C = \frac{K \cos(\theta_0 - \theta_1)}{2}, \quad (4.10)$$

pa je, prema tome, njegova jednačina u pravouglom koordinatnom sistemu Axy (sl.3.):

$$x^2 + y^2 + Kx \sin(\theta_0 - \theta_1) - Ky \cos(\theta_0 - \theta_1) = 0. \quad (4.11)$$

Elevacionu ugao projektila (ugao između smera tangente na putanju i pozitivnog smera x-ose) u početnom trenutku ( $\varphi_0$ ) nije nezavisan od početnih elemenata, već se iz njih izračunava. Kako je uopšte

$$\tan \varphi = \frac{dy}{dx} = \frac{\frac{dx}{d\theta} \cdot \tan \theta + x}{\frac{dy}{d\theta} - x \cdot \tan \theta},$$

a iz jednačine trajektorije projektila (4.8) je

$$\frac{dx}{d\theta} = K \cos(\theta - \theta_0 + \theta_1),$$

to je u početnom trenutku

$$\left(\frac{dx}{d\theta}\right)_0 = K \cos \theta_1,$$

pa je

$$\tan \varphi = \frac{K \cos \theta_1 \cdot \tan \theta_0 + x_0}{K \cos \theta_1 - x_0 \cdot \tan \theta_0},$$

odavde, zbog (4.7), dobiva se

$$\tan \varphi_0 = \tan(\theta_0 + \theta_1),$$

tj.

$$\varphi_0 = \theta_0 + \theta_1. \quad (4.12)$$

Međutim, kao što je poznato, ugao koji gradi tangent sa pozitivnim smerom x-ose,  $\varphi$ , jednak je u svakom trenutku zbiru polarnog ugla  $\theta$  i ugla  $\psi$  koji čine poteg i tangenta. Zbog toga je

$$\theta_1 = \varphi_0;$$

drugim rečima, ugao  $\theta_1$ , koji se pojavio kao integraciona konstanta u jednolini trajektoriji, jednak je uglu koji čine pozitivni smerovi tangente i vektora položaja u početnom trenutku. Zato je  $x_0 = L \sin \psi_0$ , zbog (4.4) dobivamo

$$\sin \phi = \frac{x_0 \omega P(\tau_0)}{v_0} \quad (4.13)$$

t.j., ako je  $\theta_0 = 0$ ,  $P(\tau_0) = 1$ ,

$$\sin \psi_0 = \frac{x_0 \omega}{v_0}. \quad (4.14)$$

Onda je

$$\varphi_0 = \theta_0 + \psi_0. \quad (4.15)$$

t.j., sa  $\theta_0 = 0$ ,  $\varphi_0 = \psi_0$ .

drugim rečima, elevacioni ugao u početnom trenutku jednak je uglu koji čine poteg i tangente u tom istom trenutku. Zbog

$$x_0 = \frac{v_0 \sin \psi_0}{\omega P(\tau_0)},$$

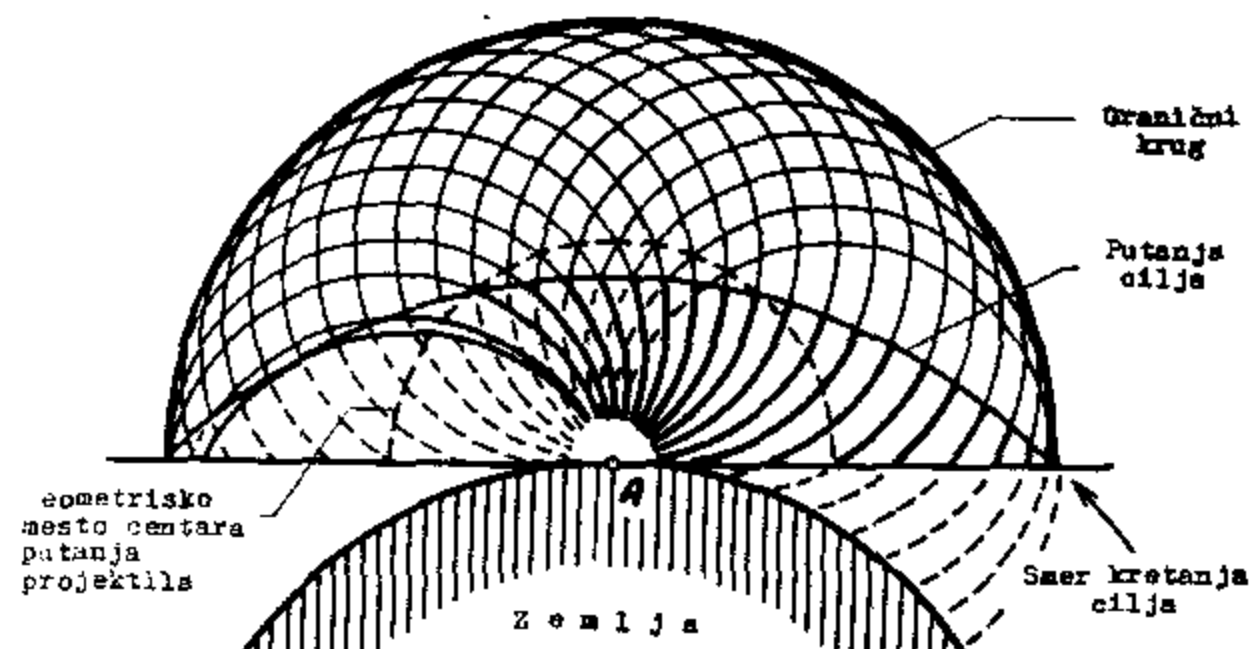
vidimo da je u slučaju  $\theta_0 = 0$  i  $x_0 = 0$ , t.j. projekttil podinje da se kreće iz tačke A, bez obzira koliki je početni polarni ugao  $\theta_0$  i početni elevacioni ugao  $\psi_0$ ; jedino između njih, zbog  $\varphi_0 = \theta_0 + \psi_0$ , mora postojati vrednost  $\theta_0 = \psi_0$ .

Na kraju napišemo, zbog vrednosti

$$\tan \psi = \frac{dy}{dx} = \frac{L \sin(\theta - \theta_0 + \psi_0)}{L \cos(\theta - \theta_0 + \psi_0)} = \tan(\theta - \theta_0 + \theta_1),$$

odnosno zbog  $\psi = \theta - \theta_0 + \theta_1 = \theta - \theta_0 + \psi_0$ , jednačinu (4.5) napisati u obliku

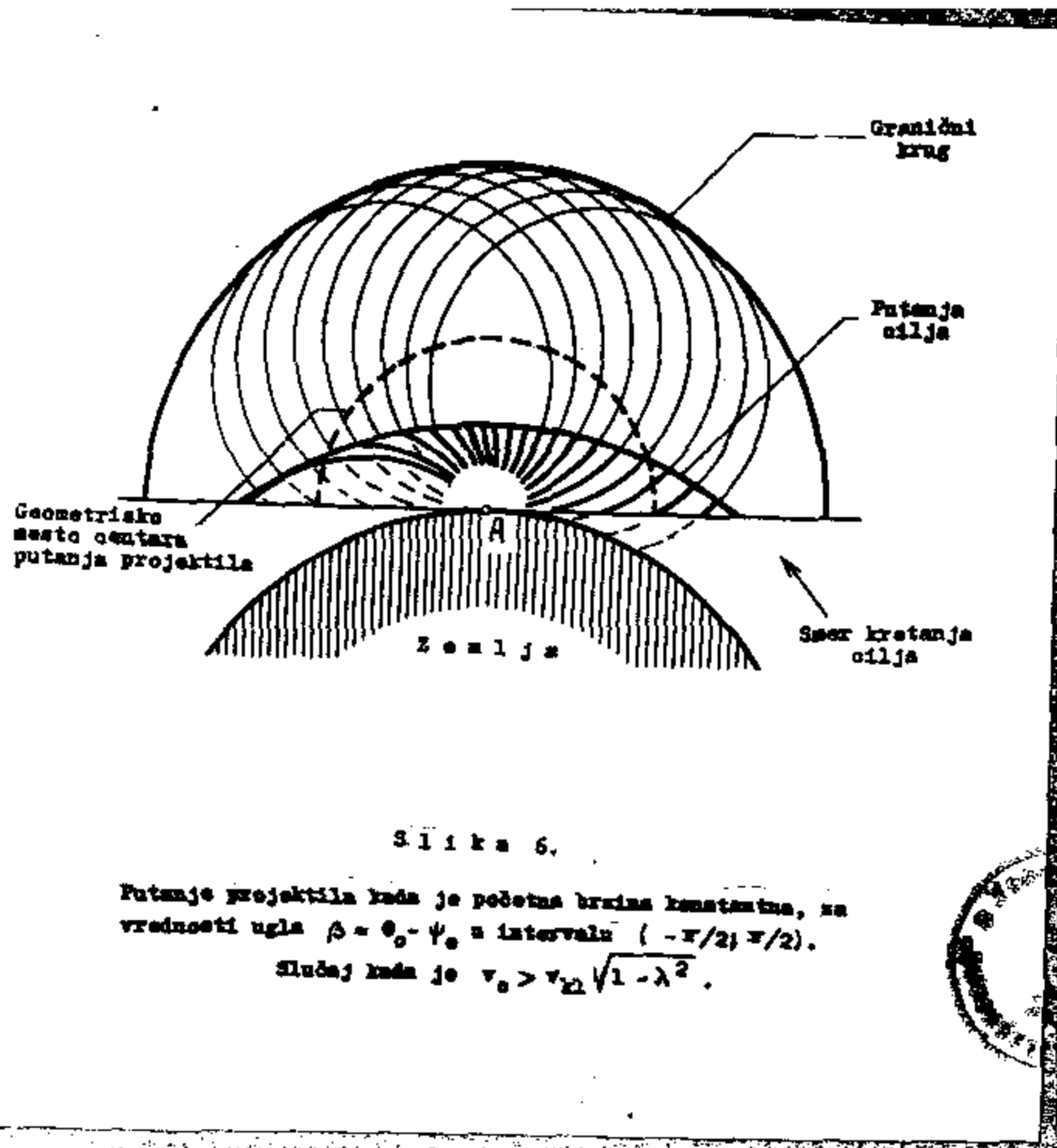
$$x = L \sin \psi. \quad (4.17)$$



Slika 5.

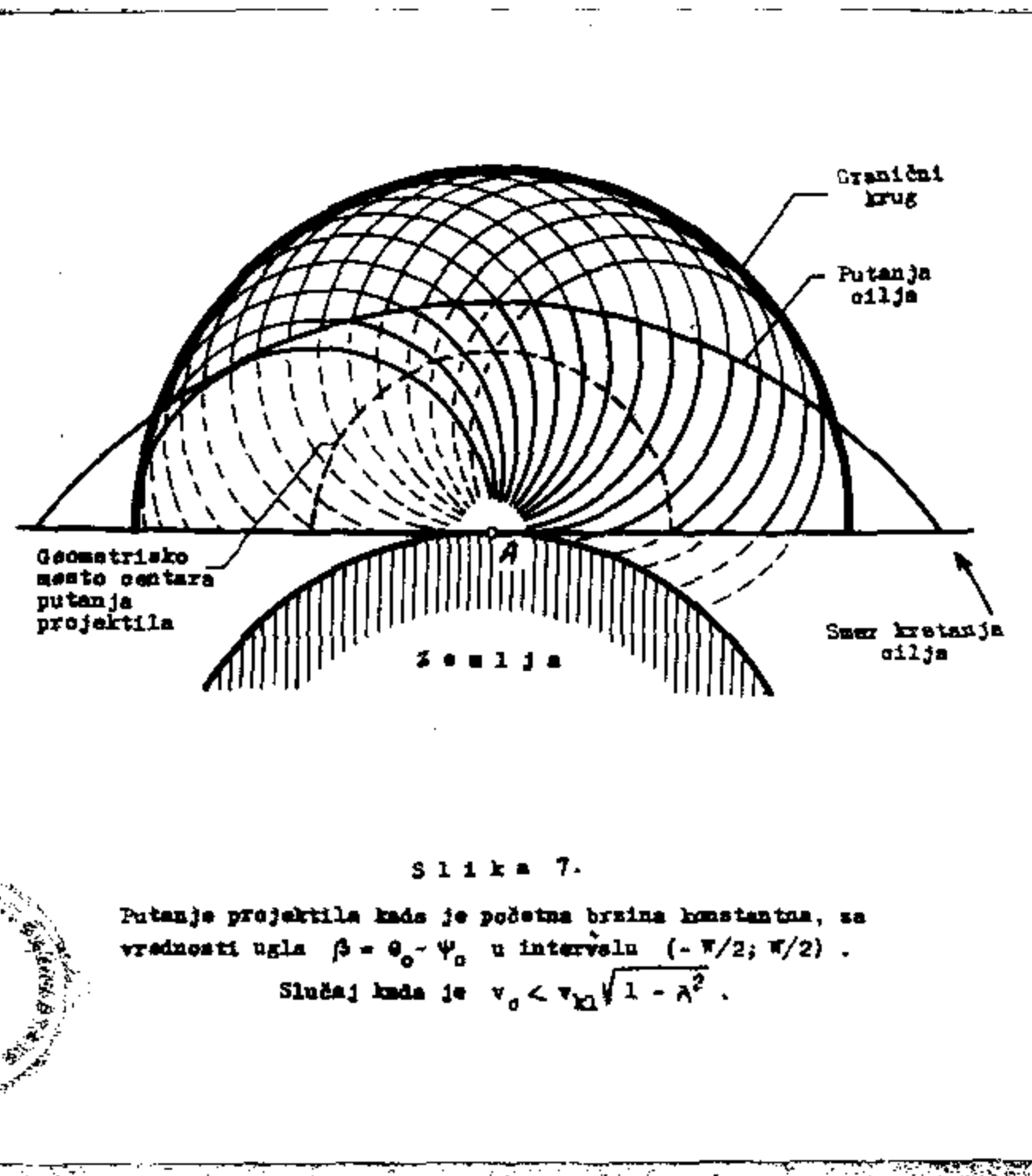
Putanje projektila kada je početna brzina konstantna, sa vrednostima ugla  $\beta = \theta_0 - \psi_0$  u intervalu  $(-\pi/2; \pi/2)$ . Slučaj kada je  $v_0 = v_{kl} \sqrt{1 - \lambda^2}$ .

Sa slikama 5., 6., i 7. možemo videti putanje projektila sa razne vrednosti početnog polarnog ugla  $\theta_0$ . Kako je  $\theta_1 = \psi_0$ , iz (4.10) vidimo da je uvek  $y_C > 0$ , a  $x_C < 0$  sa  $\theta_0 > \psi_0$ . Ako je  $\theta_0 = \psi_0$ ,  $x_C = 0$ , centar kruga po kome se kreće projektil leži na y-osi i to je granični slučaj kada projektil može podi is tačke A (tada je i  $\theta = 0$ ). Ako je  $\theta_0 < \psi_0$ ,  $x_C > 0$  i projektil mora podesiti kretanje is neke druge tačke na udaljenju  $x_0$  od tačke A, kao što se uostalom može videti i



Slika 6.

Putanje projektila kada je početna brzina konstantna, za vrednosti ugla  $\beta = \theta_0 - \psi_0$  u intervalu  $(-\pi/2; \pi/2)$ . Sluđaj kada je  $v_0 > v_{k1} \sqrt{1 - \lambda^2}$ .



Slika 7.

Putanje projektila kada je početna brzina konstantna, za vrednosti ugla  $\beta = \theta_0 - \psi_0$  u intervalu  $(-\pi/2; \pi/2)$ . Sluđaj kada je  $v_0 < v_{k1} \sqrt{1 - \lambda^2}$ .

Na slike 5. i 6. vidi da su uvek  $0 < |\theta_0 - \psi_0| < \pi$ . Kako prethodno predstavljeno, kada je  $\theta_0 < \psi_0$ , tada će cilj biti u uobičajenoj poziciji A. Da li je to uverljivo? Naučimo (4.11), da je  $\theta_1 = \psi_0$  uvezano sa  $\tau$  u sledećim terminima: da je  $\theta_1 = \theta_0$  (tada će cilj biti u uobičajenoj poziciji A), u tom slučaju da cilj je savladan u uobičajenoj poziciji A, ili

$$\theta_1 = \psi_0 \text{ ali } \theta_1 = \pi - \psi_0.$$

Da bude još to uverljivo, uvek u levoj projektili mora pogoditi cilj, onda bi trebalo A da pripada cilju, tj. da cilj A bude jednako u uobičajenoj poziciji cilja A.

$$x = r(\tau) \cos(\theta_1) = r(\tau) \cos(\psi_0).$$

Uvoda u temu, da je  $r(\tau) = v_0 \tau$ , mog  $y = 0$ ,  $x = r(\tau) = \sqrt{r^2 + z^2} = \sqrt{v_0^2 \tau^2 + z^2}$ . Zato može biti  $\sqrt{v_0^2 \tau^2 + z^2} = r(\tau) \sin(\theta_1) = r(\tau) \sin(\psi_0)$ .

$$\sin(\theta_1 - \psi_0) = \frac{z}{\sqrt{v_0^2 \tau^2 + z^2}} \sqrt{1 - \lambda^2} H(\tau). \quad (4.12)$$

Kako je, uobičajeno, da je cilj u uobičajenoj poziciji (tj.  $x_0 < 0$  i  $y_0 > 0$ ) (uobičajeno projektili moraju da napadnu cilj u uobičajenoj poziciji). Zatada cilj je u uobičajenoj poziciji (tj.  $x_0 < 0$  i  $y_0 > 0$ ), da bi se dobio rezultat  $\theta_1 = \psi_0$ , jer uvek u uobičajenoj poziciji

$$0 \leq \theta_1 \leq \pi \Rightarrow \sin(\theta_1 - \psi_0) \leq \frac{z}{\sqrt{v_0^2 \tau^2 + z^2}} \sqrt{1 - \lambda^2} H(\tau).$$

Osim da to nije moguće, uvek mora biti da  $x_0 < 0$  i projektili polazi da budu u uobičajenoj poziciji  $x_0, y_0$ , mora biti u uobičajenoj poziciji.

$$\theta \leq \theta_0 \leq \psi_0 + \arcsin \left[ \frac{a_0 \omega}{\lambda v_0} \sqrt{1 - \lambda^2} P(\tau_0) \right],$$

tj., slobog (3.2),

$$0 \leq \theta_0 \leq \psi_0 + \arcsin \left[ \frac{7.91}{v_0} \sqrt{\lambda(1 - \lambda^2)} P(\tau_0) \right]. \quad (4.19)$$

gde je  $v_0$  date u km/sec.

U jednačine (4.19) sledi da mora biti uvek zadovoljen uslov

$$| P(\tau_0) \frac{7.91}{v_0} \sqrt{\lambda(1 - \lambda^2)} | \leq 1,$$

odakle sa početnu brzinu dobivaju uslov

$$v_0 \geq 7.91 \sqrt{\lambda(1 - \lambda^2)} P(\tau_0) \text{ km/sec.} \quad (4.20)$$

Na primer, za  $\lambda = 0.9$  i  $\tau_0 = \alpha$  taj uslov je  $v_0 \geq 3,25$  km/sec, dok izraza na desnoj strani dostiže maksimum za  $\lambda = 1/\sqrt{3} = 0,578$ , pri čemu u tom slučaju mora biti  $v_0 \geq 4,9$  km/sec, što se događa kod satelita kod kojih je poluprečnik putanje  $a = 11000$  km, tj. čija je visina nad površinom Zemlje  $h = 4630$  km.

Izraz (4.20) može se i drugačije napisati. Kako je  $\epsilon = 7.91\sqrt{\lambda}$  km/sec, brzina kojom se kreće satelit na kružnoj putanji oko Zemlje na rastojanju  $h = a - a_0$  od njeve površine, te uslov (4.20) možemo napisati i u obliku

$$v_0 \geq \epsilon \sqrt{1 - \lambda^2} P(\tau_0). \quad (4.21)$$

Ovakva početna brzina suviše je velika. Ni jedan projektil ne može krenuti sa površine Zemlje tolikom brzinom, pa stoga treba pradjenje cilja otpečeti u nekoj tački nad površinom Zemlje, sa koordinatama  $x_0, y_0$ , do koje projektil može postupno doći pod četnu brzinu, potrebnu za otpočinjanje pradjenja cilja.

5. TAKĀKA POGOTKA CILJA. - Ručka pogotka, u kojoj projektil preseče ili dostigne cilj, leži u preseku putanja projektila i cilja, dakle u preseku dva kruga čije su jednačine u polarnom koordinatnom sistemu:

$$\text{putanje projektila: } r = K \sin(\theta - \theta_0 + \theta_1),$$

$$\text{putanje cilja: } r = a \left[ \sqrt{1 - \lambda^2 \cos^2 \theta} - \lambda \sin \theta \right].$$

Napišemo li prvu jednačinu u obliku

$$R = K \sin \theta \cos \beta - K \cos \theta \sin \beta,$$

gde je  $\beta = \theta_0 - \theta_1$ , pa izrazimo sine i cosine preko tgθ, dobivamo

$$x = \frac{K}{\sqrt{1 + \tan^2 \theta}} (\tan \theta \cos \beta - \sin \beta).$$

Posle unošenja vrednosti za  $\tan \theta$  iz (3.6) dobivamo jednačinu putanje projektila u obliku

$$x = R \frac{\sin(\tau - \beta) - \lambda \cos \beta}{\sqrt{1 + \lambda^2 - 2\lambda \sin \beta}}. \quad (5.1)$$

Jednačina kruga po kome se kreće cilj je, ako i u njoj bude promenljivu uvedeno  $\tau$ ,

$$r = a \sqrt{1 + \lambda^2 - 2\lambda \sin \tau}. \quad (5.2)$$

Precednu tečku krugova dobivamo iz jednačine

$$R \frac{\sin(\tau_p - \beta) - \lambda \cos \beta}{\sqrt{1 + \lambda^2 - 2\lambda \sin \tau_p}} = a \sqrt{1 + \lambda^2 - 2\lambda \sin \tau_p},$$

gde indeks  $p$  označava tačku pogotka, odnosno

$$\sin(\tau_p - \beta) - \lambda \cos \beta = \frac{a}{R}(1 + \lambda^2 - 2\lambda \sin \tau_p).$$

Poslednja jednačina se zbog (4.4) može napisati u obliku

$$(\cos \beta + 2c_1) \sin \tau_p - \sin \beta \cdot \cos \tau_p = c_1 \frac{1 + \lambda^2}{\lambda} + \lambda \cos \beta,$$

gde je

$$c_1 = \frac{a \omega P(\tau)}{v_0}. \quad (5.3)$$

Stavljujući

$$\cos \beta + 2c_1 = m \cdot \cos \eta, \quad \sin \beta = m \cdot \sin \eta,$$

dobiva se

$$m \cdot \sin(\tau_p - \eta) = c_1 \frac{1 + \lambda^2}{\lambda} + \lambda \cos \beta. \quad (5.4)$$

pri čemu je  $m = \sqrt{1 + 4c_1^2 + 4c_1 \cos \beta}$ ,  $(5.5)$

$$\operatorname{tg} \eta = \frac{\sin \beta}{\cos \beta + 2c_1}, \quad (\operatorname{tg} \eta \geq 0, \quad 0 \leq \eta \leq 90^\circ),$$

a  $\tau_p$  označava vrednost ugla  $\tau$  u trenutku pogotka.

Da bi jednačina (5.4) imala rešenja, tj. da bi krugovi trajektorije projektila i cilja isali zajedničke tačke preseka, mora biti zadovoljen uslov  $|c_1 \frac{1 + \lambda^2}{\lambda} + \lambda \cos \beta| \leq m$ ,

odnosno,

$$\left( \frac{1 + \lambda^2}{\lambda} \right)^2 c_1^2 - 2 \cos \beta (1 - \lambda^2) c_1 - (1 - \lambda^2 \cos^2 \beta) \leq 0.$$

Ako pretpostavimo da je ugao  $\beta = \theta_0 - \theta_1$  unapred dat, možemo odrediti granice u kojima treba da se nalazi  $c_1$  da bi došlo do pogodjanja cilja. Poslednja jednačina može se napisati u obliku

$$\left( \frac{1 + \lambda^2}{\lambda} \right)^2 (c_1 - c_{11})(c_1 - c_{12}) \leq 0,$$

odnosno  $(c_1 - c_{11})(c_1 - c_{12}) \leq 0$ , odakle sledi da mora biti zadovoljen uslov  $c_{12} \leq c_1 \leq c_{11}$ , gde je

$$c_{11} = \frac{1}{1 - \lambda^2} (1 + \lambda \cos \beta) > 0, \quad c_{12} = -\frac{1}{1 - \lambda^2} (1 - \lambda \cos \beta) < 0.$$

Međutim, kako je  $c_{12} < 0$  uvek, a veličina  $c_1$  je uvek pozitivna, dovoljno je napisati samo uslov

$$c_1 \leq c_{11},$$

odnosno,

$$\frac{a_0 \omega P(\tau_0)}{v_0} \leq \frac{\lambda}{1-\lambda^2} (1 + \lambda \cos \beta),$$

gdje se na početku brzini dobiva uslov

$$v_0 \geq \frac{a_0 \omega P(\tau_0) \cdot (1 - \lambda^2)}{1 + \lambda \cos \beta}. \quad (5.6)$$

Vidimo da je na desnoj strani izraz najmanji za  $\tau_0 = \alpha$ ,  $P(\tau_0) = 1$ , dokle je  $\theta_0 = 0$  i  $\cos \beta = 1$ ,  $= 0$ , pa je, zbog  $\beta = \theta_0 - \theta_1 = -\psi_0$ ,

$\psi_0 > 0$ . Za te vrednosti uslov (5.6) glasi

$$v_0 \geq \frac{a_0 \omega (1 - \lambda^2)}{1 + \lambda} = a_0 \omega \frac{1 - \lambda}{\lambda}.$$

Zbog (3.2) i  $a_0 = 6370$  km uslov na početku brzini postaje

$$v_0 \geq 7,91 \sqrt{\lambda} (1 - \lambda) \text{ km/sec},$$

ili, ako uvedemo opet brzinu cilja  $a$ ,

$$v_0 \geq a(1 - \lambda). \quad (5.7)$$

Uslov (5.7) blaži je od uslova (4.21); na primer za  $\lambda = 0,9$  ovaj uslov daje  $v_0 \geq 751$  m/sec, dok je za istu vrednost  $\lambda$  uslov (4.21) davao  $v_0 \geq 3,27$  km/sec, za vrednost  $\tau_0 = \alpha$ , dokle za minimumnu vrednost  $P(\tau_0)$ .

Kada odredimo vrednost ugla  $\tau_p$  u trenutku kada projektil pogodi cilj, iz jednačine (5.4), odnosno iz

$$\sin(\tau_p - \pi) = \frac{c_1}{m} \cdot \frac{1 + \lambda^2}{\lambda} + \frac{\lambda}{m} \cos \beta, \quad (5.8)$$

ostale elemente koji odgovaraaju ovome trenutku, dobivamo na sledeći način:

vektor položaja tada je  $r_p = \frac{a_0}{\lambda} \sqrt{1 + \lambda^2 - 2\lambda \sin \tau_p}$ ; (5.9)  
brzinu iz

$$v_p = v_0 \frac{P(\tau_p)}{P(\tau_0)}, \quad (5.10)$$

gde je

$$P(\tau_p) = \frac{1 - \lambda \sin \tau_p}{1 + \lambda^2 - 2\lambda \sin \tau_p};$$

ugao između vektora položaja i tangente is

$$\psi_p = \theta_p - \theta_0 + \psi_0, \quad (5.11)$$

pri čemu se polarni ugao dobiva iz

$$\tan \theta_p = \frac{\sin \tau_p - \lambda}{\cos \tau_p}, \quad (5.12)$$

a elevacioni ugao je

$$\gamma_p = \theta_p + \psi_p = 2\theta_p - \theta_0 + \psi_0. \quad (5.13)$$

Osim

$$\gamma = v_p / v_0 = P(\tau_p) / P(\tau_0)$$

dostigne najvecu vrednost ako je  $\tau_0 = \alpha$ ,  $\tau_p = 90^\circ$ , tj. ako projektil polazi u trenutku kada se cilj nalazi u horizontu, a pogodja ga u trenutku kada se nalazi u zenitu mesta A. Tada je

$$\text{Max } \gamma = \frac{1}{1 - \lambda}. \quad (5.14)$$

Vrednost  $\gamma$  je utolike manja ukoliko je  $P(\tau_0)$  veće, samo se u tom slučaju, prema uslovu (5.6), povećava vrednost početne brzine, što je nepovoljnije. Za  $\lambda = 0,9$  je  $\text{Max } \gamma = 10$ . Osim toga, može se dogoditi da  $\gamma$  ima manju vrednost od maksimalne (prilikom gonjenja, kada cilj predje zenit mesta A), a da prilikom prelaza iz presretanje u gonjenje, za  $\tau = 90^\circ$ , brzina projektila uzime vrednost  $v_{\max} = v_0 / (1 - \lambda)$ , posle čega se opet smanjuje do vrednosti  $v_p$ , što se vidi iz grafika funkcije  $P(\tau)$  (sl. 4.). Ovo se može izbeći na taj način što će projektil početi kretanje u trenutku kada se cilj nalazi u zenitu ili blizu njega, tako da imamo čisto gonjenje, ali je tada početna brzina jednak brzini cilja, odnosno vrlo bliska njoj, što je neizvodljivo ako projektil treba da počne kretanje i u iste vreme i praćenje iz tačke A. (Iz (5.6) se za  $\tau_0 = 90^\circ$  dobija da mora biti  $v_0 \geq c$ , ako je  $\beta = 0$ .)

**6. GRANIČNA KRIVA.** - Napišemo li jednačinu (4.1) u obliku

$$\frac{dx}{d\theta} = \sqrt{K^2 - r^2},$$

vidimo da ona ima rešenja samo ako je  $K^2 - r^2 \geq 0$ , što znači da se projektil može kretati samo u unutrašnjosti krive

$$r = K, \quad (6.1)$$

ili u krajnjem slučaju može se naći na samoj krivoj (6.1). Ovu krivu liniju, koja odvaja oblast mogućih od oblasti nemogućih rešenja diferencijalne jednačine (4.1), nazvaćemo graničnom krivom linijom. To je krug poluprečnika  $K$ , sa centrom u tački A, čija je jednačina u pravouglom sistemu Axy:

$$x^2 + y^2 = K^2. \quad (6.2)$$

Ovaj krug je obvojnica trajektorija projektila

$$f(x, y) = x^2 + y^2 + Kx \cdot \sin \beta - Ky \cdot \cos \beta = 0,$$

kada je početna brzina projektila konstantna, a samim tim je konstantna i veličina  $K$ . Kako je

$$\frac{\partial f(x, y)}{\partial \beta} = Kx \cdot \cos \beta + Ky \cdot \sin \beta = 0,$$

te iz ove jednačine i jednačine trajektorije projektila sleduje

$$\sin \beta = \frac{Ky}{x^2 + y^2}, \quad \cos \beta = \frac{Kx}{x^2 + y^2},$$

pa eliminacija parametra  $\beta$  daje zaista kao obvojnicu krug (6.2).

Sa slika 5., 6. i 7. vidimo kako izgleda položaj graničnog kruga.

Premda tome, ako je zadovoljen uslov za početnu brzinu projektila (5.6) (ili (5.7)), koji uveljavlja pogodjanje cilja, onda tačke pogotka leže u unutrašnjosti graničnog kruga, dokle u oblasti mogućih rešenja diferencijalne jednačine (4.1). Granični slučaj se dogodja kada centar kruga trajektorije projektila leži na y-osi i pritom je  $\tilde{\tau}_p = 90^\circ$  (u uslovu (5.6) treba uzeti znak jednakosti; putanje projektila i cilja seku se samo u jednoj tački). Tada, i samo u tom slučaju, tačka pogotka leži na samom graničnom krugu, u svim ostalim slučajevima nalazi se u njemu.

III - SITUĀJ KADA JE  $U(\theta) = \frac{A}{\cos^2 \theta}$ ,

7. BRZINA PROJEKTILA I GRANIČNA KRIVA. - Drugi i ujedno poslednji slučaj kada se diferencijalna jednačina kretanja projektila može rešiti kvadraturama sa datom funkcijom  $U(\theta)$  je kad ova funkcija ima oblik

$$U(\theta) = \frac{A}{\cos^2 \theta}, \quad (7.1)$$

gde je  $A > 0$  konstantna veličina. U tom slučaju je, prema (3.6), brzina projektila u funkciji ugla  $\tau$  data izrazom

$$v = A \omega \frac{P(\tau)}{\cos^2 \theta} = A \omega N(\tau), \quad (7.2)$$

gde je

$$N(\tau) = \frac{1 - \lambda \sin \tau}{\cos^2 \tau}. \quad (7.3)$$

Ako su  $N(\tau_0)$  oznaćimo vrednost funkcije  $N(\tau)$  u trenutku kada projektil počinje svoje kretanje, onda imamo, ako se  $v_0$  označi početnu brzinu projektila,

$$v = v_0 \frac{N(\tau)}{N(\tau_0)}. \quad (7.4)$$

Zadatkom funkcije  $N(\tau)$  postaje beskonačna u tački  $\tau = \pi/2$ . Dakle, cilj se mora pogoditi pre nego što dođe u zenit mesta  $A$ , pošto u tački  $\tau = \pi/2$ , prema (7.2) brzina treba da bude beskonačno velika. Funkcija je periodična, sa periodom  $2\pi$ . U intervalu  $(0, \pi)$  ima dva minimuma, u tačkama u kojima je

$$\sin \tau_1 = \frac{1 - \sqrt{1 - \lambda^2}}{\lambda},$$

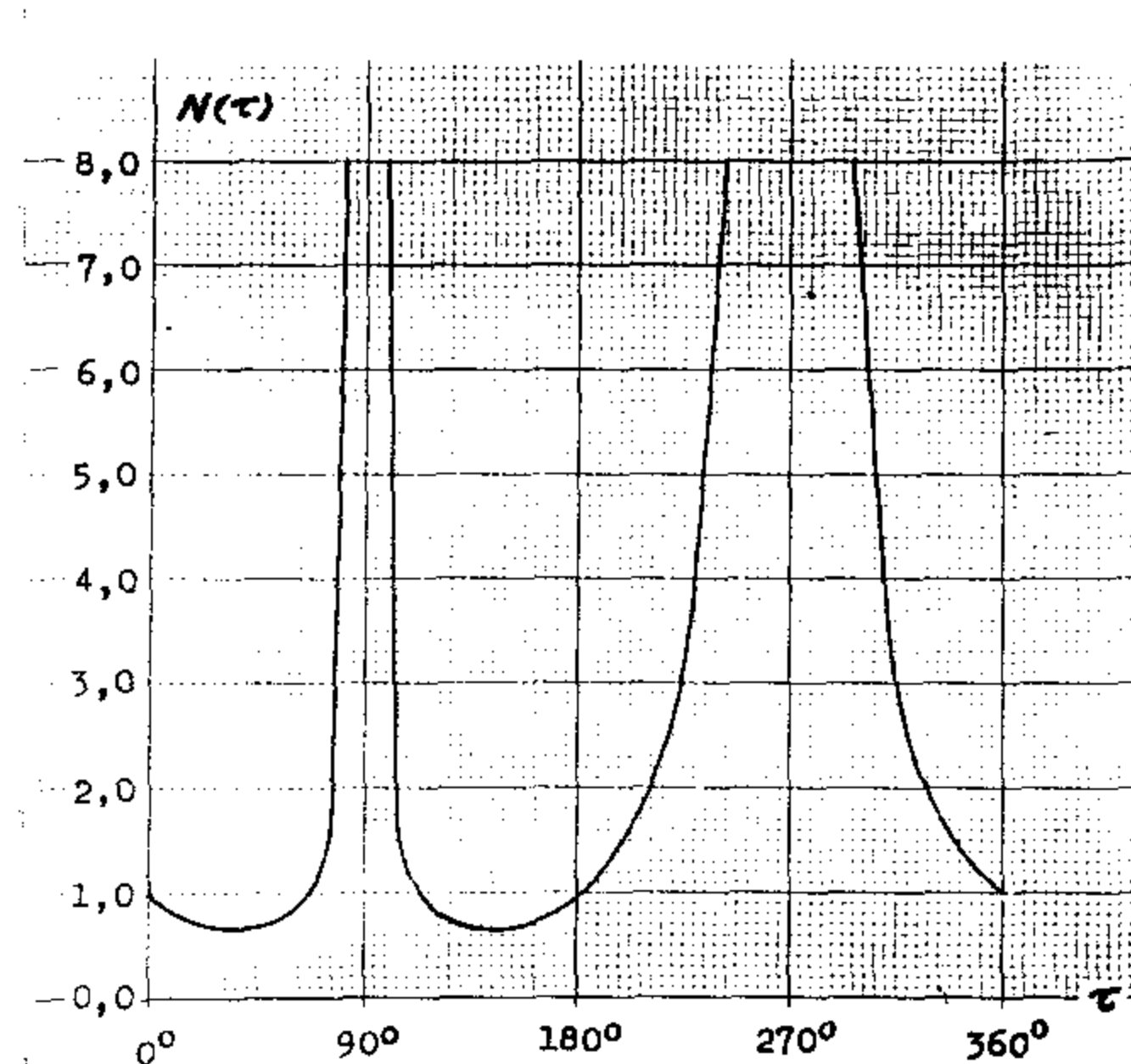
a za koje je

$$N(\tau_1) = \frac{1 + \sqrt{1 - \lambda^2}}{2}.$$

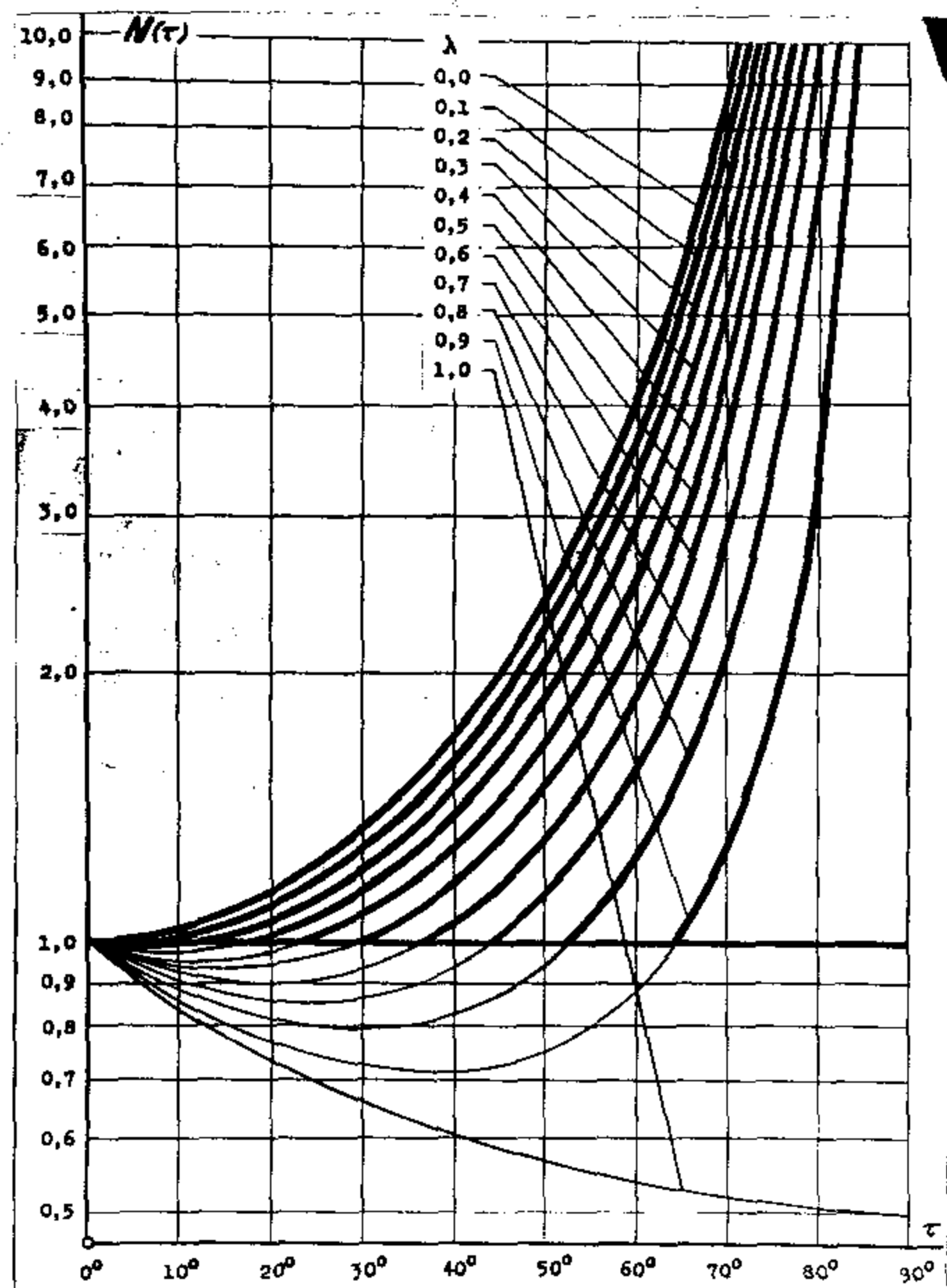
Ne kako je  $N(\tau_1) < N(0) = 1$ , to tačke u kojima bi brzina imala ovu minimalnu vrednost leže ispred horizonta mesta  $A$ , pa je, prema tome najmanja vrednost brzine ustvari početna brzina. Do tačke  $\tau = \pi/2$   $N(\tau)$  raste, za  $\tau = \pi/2$  postaje beskonačno veliko, zatim opada do tačke  $\tau = \pi - \tau_1$ , a onda ponovo raste do  $\tau = 3\pi/2$ , gde opet postaje beskonačno veliko, posle čega opada do vrednosti  $N(\tau) = 1$ , za  $\tau = 2\pi$ .

Na slići 8. prikazan je dijagram funkcije  $N(\tau)$  za vrednosti parametra  $\lambda = 0,9$  u celom intervalu  $(0, 2\pi)$ , dok su funkcije  $N(\tau)$  za sve vrednosti parametra  $\lambda$  u intervalu  $(0, 1)$  prikazane samo u intervalu  $0 \leq \tau \leq \pi/2$  na slici 9., pri čemu je deo funkcije, koji odgovara položajima projektila nad horizontom iscrtan debljom linijom.

Vratimo se sada diferencijalnoj jednačini



Slika 8.  
Funkcija  $N(\tau)$  za  $\lambda = 0,9$



Slika 9.

$$\left(\frac{dr}{d\theta}\right)^2 + r^2 = \frac{A^2}{\cos^4 \theta},$$

pa je napišimo u obliku

$$\frac{dr}{d\theta} = \sqrt{\frac{A^2}{\cos^4 \theta} - r^2}$$

Vidimo da jednačina ima rešenja samo ako je  $r \leq A/\cos^2 \theta$ . Grančna kriva linija, koja odvaja oblast realnih od oblasti imaginarnih rešenja diferencijalne jednačine kretanja projektila, a čija je jednačina u polarnom koordinatnom sistemu

$$r = \frac{A}{\cos^2 \theta}, \quad (7.5)$$

ima u pravouglom koordinatnom sistemu Argy jednačinu

$$y = \frac{A}{A} \sqrt{x^2 - A^2}. \quad (7.6)$$

Ova kriva linija preseca horizont u tačkama dije su koordinate  $x_1 = 0$  (izolovna tačka),  $x_2 = A$  i  $x_3 = -A$ , pa, prema tome, da bi projektil imao mogućnost da pogodi cilj bilo gde nad horizontom, treba tačku u kojoj se cilj nalazi u horizontu, sa apscisom  $x = \sqrt{x_1^2 - A^2}$  da bude bliže tački  $A$  od tačke sa apscisom  $x_2$ , t.j. treba da bude

$$\sqrt{a^2 - s_0^2} \leq A.$$

Kako je, nedjutim, iz (7.2)  $A = v_0 / \omega N(\tau_0)$ , to mora biti

$$\frac{s_0}{\lambda} \sqrt{1 - \lambda^2} \leq \frac{v_0}{\omega N(\tau_0)}.$$

odakle je

$$v_0 \geq \frac{s_0 \omega N(\tau_0)}{\lambda} \sqrt{1 - \lambda^2}.$$

Zbog (3.2) dobivamo uslov

$$v_0 \geq \frac{7.92 \lambda^{3/2}}{\lambda} N(\tau) \sqrt{1 - \lambda^2},$$

odnosno, ako unesemo vrednost za brzinu cilja, gornji uslov postaje

$$v_0 \geq c N(\tau_0) \sqrt{1 - \lambda^2}, \quad (7.7),$$

odnosno, za  $N(\tau_0) = 1$ , kada se cilj u početnom trenutku kretenja projektila nalazi u horizontu mesta  $A$ ,

$$v_0 \geq c \sqrt{1 - \lambda^2}, \quad (7.8)$$

a to je upravo uslov (4.31), nepovoljan za početnu brzinu projektila. Ovo se, kao i u slučaju  $U(\theta) = K$ , može izbegti ako se pradjenje cilja započne iz neke druge tačke, sa koordinatama  $x_0, y_0$ , do koje raketu uspe da razvije potrebnu početnu brzinu.

Nedjutim, postoji jedna oključujuća okolnost. Naime, sa slike 10. se vidi da tačka u kojoj se cilj nalazi u horizontu mesta  $A$  može biti i dalje od tačke sa apsocijom  $x_0 = A$  granične krive linije, pa da iznad mesta  $A$  još uvek postoji dovoljno velika oblast realnih rešenja diferencijalne jednačine, u kojoj projektil može pogoditi veštački satelit.

B. TRAJECTORIJA PROJEKTILA. - Vratimo se sad na polaznu diferencijalnu jednačinu

$$\left( \frac{dr}{d\theta} \right)^2 + r^2 = \frac{A^2}{\cos^2 \theta} \quad (8.1)$$

i uvedimo opet ugao  $\psi$  između pozitivnih smrova vektora položaja i brzine projektila, preko izraza

$$\operatorname{tg} \psi = r : \frac{dr}{d\theta}, \quad (8.2)$$

odakle je

$$\frac{dr}{d\theta} = r \cdot \operatorname{ctg} \psi.$$

A kako je, prema ranije rešenom,  $\psi = \varphi - \theta$ , gde je  $\varphi$  ugao koji vektor brzine zaklapa sa pozitivnim smarem x-ose, to je  $\frac{dr}{d\theta} = r \cdot \operatorname{ctg}(\varphi - \theta)$ . Dalje je, ako se ovaj izraz uvrsti u (8.1),

$$r^2 \operatorname{ctg}^2(\varphi - \theta) + r^2 = \frac{A^2}{\cos^2 \theta}.$$

odakle je

$$\frac{r}{\sin(\varphi - \theta)} = \frac{A}{\cos^2 \theta} \quad (8.3)$$

$$\xi = -\frac{A}{2} \sin \varphi, \quad \eta = -\frac{A}{2} \cos \varphi,$$

(8.4)

Tada dobivamo, posle razvijanja izraza (8.3),

$$-\eta \sin \varphi + \xi \cos \varphi = \eta^2.$$

Diferencijalnu (1) sva jednačina po vremenu, bide

$$-\eta \sin \varphi + \xi \cos \varphi - \eta \cdot \dot{\varphi} \cos \varphi - \xi \cdot \dot{\varphi} \sin \varphi = 2\eta \frac{d\eta}{d\varphi} \dot{\varphi}.$$

Zbog (8.4.) je

$$\xi = -\frac{A}{2}, \quad \eta = -\frac{A}{2},$$

pa je

$$\dot{\xi} = -\frac{\dot{y}}{A}, \quad \dot{\eta} = -\frac{\dot{x}}{A}.$$

Međutim, kako je  $\dot{x} = v \cdot \cos \varphi$ ,

$\dot{y} = v \cdot \sin \varphi$ , ovi izrazi postaju

$$\dot{\xi} = -\frac{v}{A} \cdot \sin \varphi, \quad \dot{\eta} = -\frac{v}{A} \cdot \cos \varphi,$$

pa gornja jednačina, posle skraćivanja sa  $\dot{\varphi}$ , postaje

$$2\eta \frac{d\eta}{d\varphi} + \xi \sin \varphi + \eta \cos \varphi = 0.$$

Ako još smenimo  $\xi$  iz (8.5), ona dobiva oblik

$$2 \frac{d\eta}{d\varphi} + \eta (\eta + \sin \varphi) \cdot \operatorname{tg} \varphi + \eta \cos \varphi = 0,$$

odnosno, posle skraćivanja sa  $\eta \neq 0$

ostajevanje,

$$\frac{d\eta}{d\varphi} + \frac{1}{2} \eta \operatorname{ctg} \varphi + \frac{1}{2 \cdot \cos \varphi} = 0.$$

Najted, smenom novovremene promenljive  $\varphi = \frac{\pi}{2} - u$ ,  $d\varphi = -du$ , poslednju jednačinu svedimo na diferencijalnu jednačinu kretanja projektila, koji protiče po putu cilja koji se kreće pravoliniski konstantnom brzinom. \*) ova jednačina glasi:

$$\frac{d\eta}{du} - \frac{1}{2} \eta \operatorname{ctgu} = \frac{1}{2 \cdot \sin u}.$$

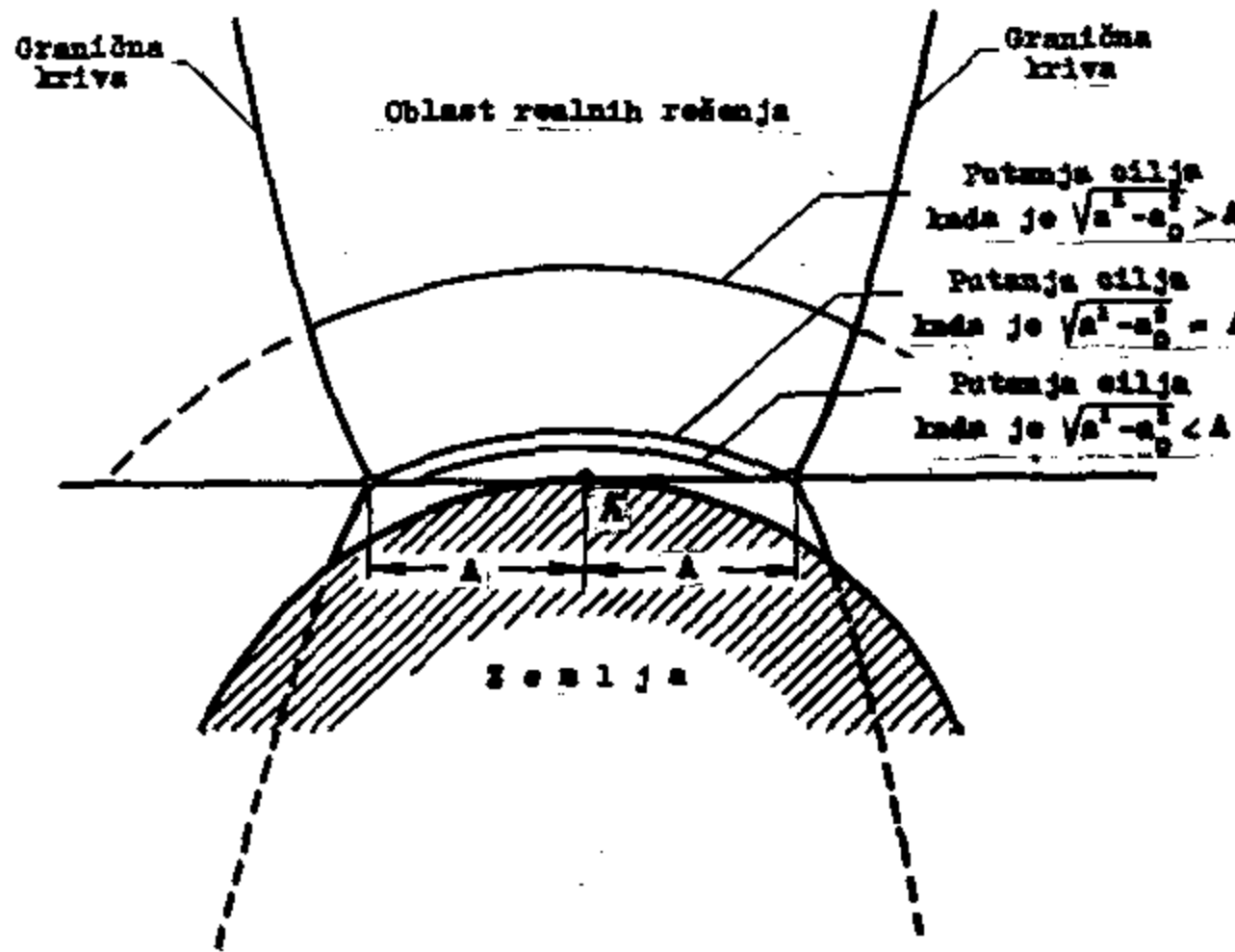
Rešenje ove jednačine je

$$\eta = \sqrt{|\sin u|} \left( C + \frac{1}{2} \int \frac{du}{\sin u \sqrt{|\sin u|}} \right) = f_2(u),$$

pri čemu je

$$\sqrt{|\sin u|} \geq 0, \quad \text{a } C \text{ integraciona konstanta.}$$

\*) Rešenje prof. R. Kabanina (Saopštanje Instituta sa vojno-tehničkim istraživanjima, N.-35.39/1960).



Slika 10.

Iz (8.5) je

$$\left\{ \begin{array}{l} \xi = f_2(u) \cdot \operatorname{tg} u + f_2^2(u) \cdot \operatorname{cosec} u = f_1(u), \\ \eta = f_1(u) \end{array} \right. \quad (8.9)$$

pa, zbog (8.6) jednačine

$$x = -A \cdot f_2(u), \quad y = -A \cdot f_1(u), \quad (8.10)$$

daju parameterски oblik jednačine trajektorije projektila.

Da bi se dobila tačka u kojoj projektil pogodja cilj, treba u ovom slučaju integralne krive linije iz rešenja (8.10)<sup>\*)</sup>, umesto sa pravim linijama, preseći kružnim putanjama veštačkog satelita.

---

<sup>\*)</sup> Rešenje prof. R. Kašanina, pomenuto na prethodnoj strani.

#### IV - SLUČAJ KADA JE PARAMETAR $\lambda$ MALI

9. PRVA APROKSIMACIJA. - Ako je odnos poluprečnika Zemlje i kružne putanje cilja velike mali da se praktične može uzeti da je jednak nuli (ovo je granični slučaj), iz uslova pradjenja po potegu (3.6) izlazi  $\tan \theta = \tan \tau$ , tj.

$$\theta = \tau = \omega t, \quad (9.1)$$

jer je iz (3.1) i ugao  $\alpha = 0$ . Tada se diferencijalna jednačina (3.9) svedi na jednačinu

$$\left(\frac{dr}{d\theta}\right)^2 + r^2 = \left(\frac{v}{\omega}\right)^2. \quad (9.2)$$

Stavićemo

$$\frac{v}{\omega} = k, \quad (9.3)$$

i pretpostaviti da je brzina projektila konstantna. Onda se razdvajanjem promenljivih u jednačini (9.2) i integraljenjem dobiva

$$r = k \sin(\theta + C),$$

gde je  $C$  konstanta integracije. U početnom trenutku je  $r_0 = 0$ , pa je

$$r = k \sin(\theta - \theta_0),$$

gde je  $\theta_0$  polarni ugao u početku kretanja projektila. Dakle,

$$r = \frac{v}{\omega} \sin(\theta - \theta_0). \quad (9.4)$$

Kako se x-osa polarnog koordinatnog sistema može izabrati proizvoljne, možemo uzeti da je i  $\theta_0 = 0$ , pa dobivamo jednačinu kruga

$$r = \frac{v}{\omega} \sin \theta \quad (9.5)$$

kao trajektoriju projektila. U pravouglom koordinatnom sistemu jednačina ovog kruga je

$$x^2 + y^2 = \frac{v^2}{\omega^2} y,$$

a ovo je krug sa centrom u tački  $(0, \frac{v^2}{2\omega})$  i poluprečnika

$$S = \frac{v}{2\omega}. \quad (9.6)$$

Tačka u kojoj projektil pogodja cilj dobiva se presekom putanja cilja i projektila, tj. stavljajući  $x_p = a$ . Odатле je

$$\sin \theta_p = \frac{a \omega}{v}. \quad (9.7)$$

Međutim, veličina  $a\omega$  predstavlja brzinu cilja na putanji, tj.  $a\omega = c$ , pa je zbog toga

$$\sin \theta_p = c/v. \quad (9.8)$$

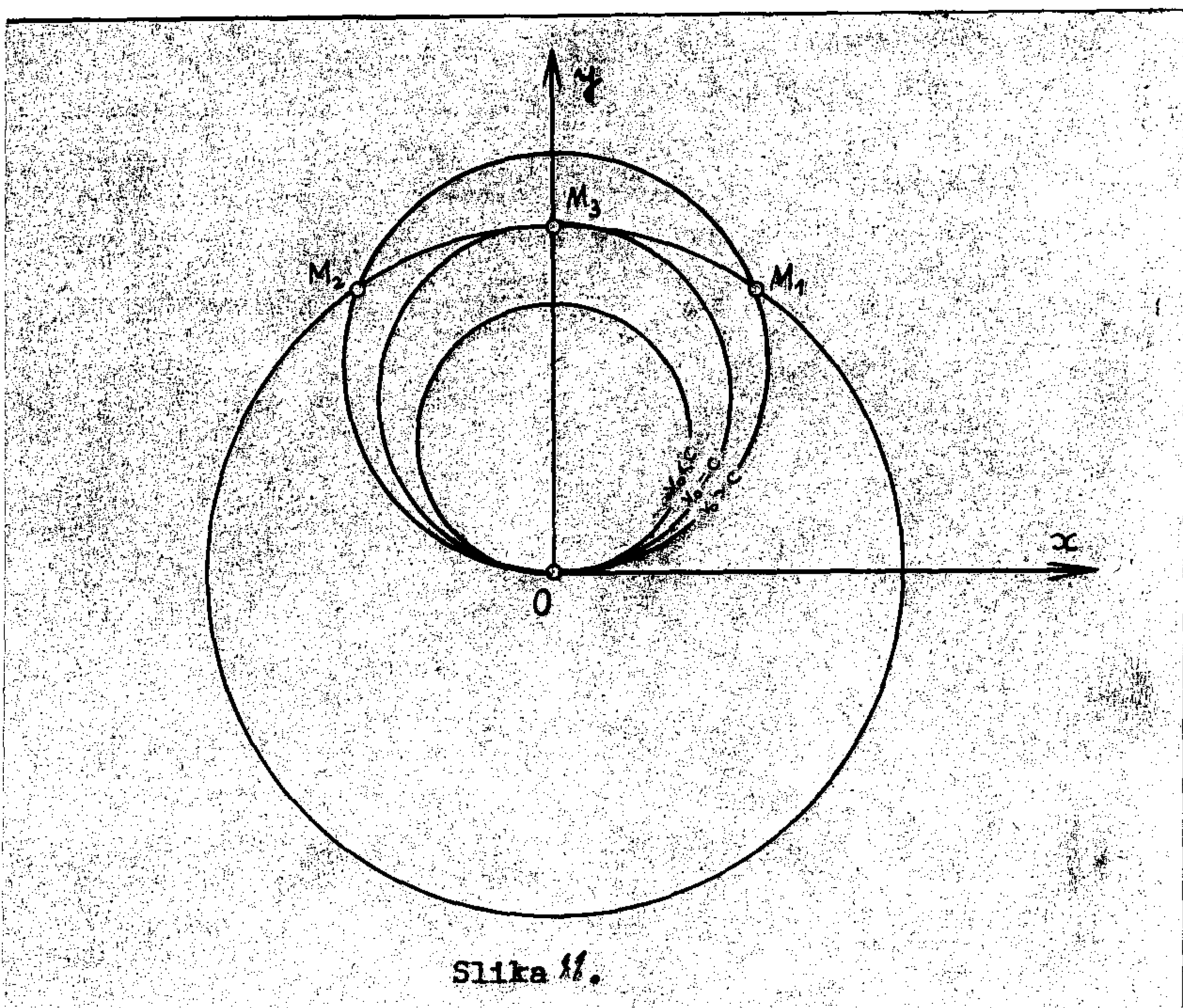
Odayde se vidi ovo: ako je  $v > c$ , imamo dva rešenja, tj. putanja projektila preseca putanju cilja u dve tačke; ako je  $c = v$ , imamo jednu tačku za  $\theta_p = \pi/2$ ; ako je  $v < c$ , jednačina (9.8) nema

realnih zadataka, pa projektili ne učešće u epo pogoditi cilj.  
Isto što se, npravljeno, može vidjeti i sa slike 11.

Vreme, potrebno projektile da stigne cilj, od trenutka kada  
on počinje svoje kretanje do trenutka kada stigne cilj, dano  
je, abeg vese (9.1), izrazom

$$T = \frac{1}{\omega} \arcsin(\frac{\lambda}{\mu}). \quad (9.9)$$

U prirodi se ovaj problem javlja kod određivanja trajeke-  
rije projektila, koji polazi sa Zemlje da bi stigao na Meseč,   
vodjen po poteri, pošto je ovde tako mali da granični slučaj  
 $\lambda = 0$  predstavlja scista dobra aproksimaciju rešenja stvarnog  
problem. Nakonost, ovo je za sada nedovoljivo, jer bi raketski  
projektil morao tokom celog puta trećići goriva (radi određe-  
nja projektila na unyred dotoj putanji). Što je, u obziru  
na goriva kojima se danas raopolaze, još uvek nemoguće.



Slika 11.

**10. DRUGA APPLISTACIJA.** - Pretpostavimo sada da je parametar  $\lambda$  razlicit od nula, ali taktik mali da funkcija  $U(\theta)$  na desnoj strani diferencijalne jednačine (3.9) dosta izravnata (3.10), zato da se razviti u red po stepenima od  $\lambda$  i ne-necariti koefficijent i vise stepene od  $\lambda$ . Kako je onda  $U(\theta) \sim k(1 - \lambda \sin\theta)$ ,  $U^2(\theta) \sim k^2(1 - 2\lambda \sin\theta + \lambda^2 \sin^2\theta)$ , gde sva su  $k$  konstantni velicini  $v/w$ , te rešenje ove jednačine može takodje dobiti u obliku

$$x = f(\theta) + \lambda \varphi(\theta) + \lambda^2 \psi(\theta). \quad (10.1)$$

Ako se sada (10.1) differencirano po  $\theta$  dobije se

$$\frac{dx}{d\theta} = f'(\theta) + \lambda \varphi'(\theta) + \lambda^2 \psi'(\theta). \quad (10.2)$$

Uneseno li sada (10.1) i (10.2) u jednačinu (3.9), pa zanemari-  
mo sve članove sa stepenom od  $\lambda$  višim od drugog, onda se odre-  
đivanje neizomnih funkcija  $f(\theta)$ ,  $\varphi(\theta)$  i  $\psi(\theta)$  dobivaju ove  
diferencijalne jednačine

$$\left. \begin{aligned} f'^2(\theta) + f^2(\theta) &= k^2, \\ f'(\theta) \cdot \varphi'(\theta) + f(\theta) \cdot \varphi(\theta) &= -k^2 \sin\theta, \end{aligned} \right\} \quad (10.3)$$

$$2f'(\theta) \cdot \varphi'(\theta) + 2f(\theta) \cdot \varphi(\theta) + \varphi'^2(\theta) + \varphi^2(\theta) = k^2 \sin^2\theta.$$

Prva jednačina pripada diferencijalnoj jednačini (4.1) i njeno  
rešenje je  $f(\theta) = k \sin(\theta + C_1)$ , gde je  $C_1$  integraciona konstan-  
ta. Ako pretpostavimo da projektil polazi iz koordinatnog počet-  
ka (tačka  $D$ ), onda je za  $\theta_0 = 0$  i  $x_0 = 0$ , pa treba da bude i  $f(\theta_0) =$   
 $= f(0) = 0$ , odakle je  $C_1 = 0$ , pa je

$$f(\theta) = k \sin\theta. \quad (10.4)$$

Kako je dalje  $f'(\theta) = k \cos\theta$ , to se za određivanje funkcije  
 $\varphi(\theta)$  dobiva linearna diferencijalna jednačina prvega reda,  
čije je rešenje, zbog  $\varphi(\theta_0) = \varphi(0) = 0$ ,

$$\varphi(\theta) = -k(1 - \cos\theta). \quad (10.5)$$

Dalje se zbog  $\varphi'(\theta) = -k \sin\theta$ , iz treće jednačine (10.3) dobiva se određivanje funkcije  $\psi(\theta)$  opet linearna diferencijalna jed-  
načina prvega reda, čiji je integral, pod uslovom  $(C) = 0$  za  
 $\theta_0 = 0$ ,

$$\psi(\theta) = -\frac{k}{2}(\sin\theta + \theta \cos\theta) + k \cos\theta \operatorname{Intg}\left(\frac{\theta}{2} + \frac{\pi}{4}\right). \quad (10.6)$$

Ako se sada sastavimo na prva dva člana, naime

$$x = k[\sin\theta - \lambda(1 - \cos\theta)], \quad (10.7)$$

$$\text{tj. } x = 2k \sin\frac{\theta}{2}(\cos\frac{\theta}{2} - \lambda \sin\frac{\theta}{2}), \quad (10.8)$$

onda je član koji se zanemaruje  $\lambda^2 \psi(\theta)$ . Maksimalna apsolutna  
vrednost funkcije  $\psi(\theta)$  u intervalu  $(0, \pi/2)$  je

$|\text{Max } \psi(\theta)| = \frac{k}{2}$  za  $\theta = \pi/2$ . Prema tome najveća vrednost trećeg člana, koji se u izrazu na  $\underline{x}$  zanemaruje, iznosi  $\lambda^2 \frac{v}{2} = \lambda^2 v/2 w$ , gde je  $w$  brzina projektila. Kako postoji izraz sa  $\omega$  (3.2), to je

$$\frac{2}{2} \frac{\lambda^2 v \cdot 10^3}{2,484 \lambda^2 \sqrt{2}} = 403v \sqrt{\lambda},$$

pri čemu je brzina projektila data u km/sec. Međutim, da bi projektil mogao da pogodi cilj mora biti  $v > e = 7,91\sqrt{\lambda}$  km/sec, pa nato mora biti  $\lambda^2 \frac{v}{2} \geq 3185 \lambda$  km. Dakle, maksimalna vrednost izraza koji se zanemaruje iznosi  $3185 \lambda$  km. U slučaju kad je cilj Meseč, imamo  $\lambda = 1/60$ , pa bi greška u najgorom slučaju iznosila 53 km, što je, s obzirom na veličinu cilja, dovoljno dobra aproksimacija, čak i u ovom, najnepovoljnijem slučaju, za  $\theta = \pi/2$ . Za sve vrednosti ugla  $\theta$ , manje od  $\pi/2$  greška je daleko manja, na primer za  $\theta = \pi/4$  je

$$|\psi(\theta)| = 0,006k,$$

pa je

$$|\text{Max } \lambda^2 \psi(\theta)| \geq 38,2 \lambda \text{ km},$$

što u slučaju Meseča daje grešku od 640 m, a ovo je više nego dovoljna tačnost.

### V - SITUĀJ KADA J E PARAMETAR I BLIZAK JEDINICI

11.- Vratimo se izrazu (3.10) za  $U(\theta)$  i stavimo  $\lambda = 1 - \varepsilon$ , gde je  $\varepsilon$  mala veličina. Tada je

$$U(\theta) = k \left[ 1 - \frac{(1-\varepsilon)\sin\theta}{\sqrt{1 - (1-\varepsilon)^2\cos^2\theta}} \right] = k[1 - F(\varepsilon)].$$

Napišimo izraz za  $F(\varepsilon)$  u obliku

$$F^2(\varepsilon) \cdot (\sin^2\theta + 2\varepsilon\cos^2\theta - \varepsilon^2\cos^2\theta) = \sin^2\theta - 2\varepsilon\sin^2\theta + \varepsilon^2\sin^2\theta.$$

Po Taylor-ovej formuli je

$$F(\varepsilon) = F(0) + \varepsilon F'(0) + \frac{\varepsilon^2}{2} F''(0) + \dots$$

gde su  $F(0)$ ,  $F'(0)$ ,  $F''(0)$ , ... vrednosti funkcije  $F(\varepsilon)$  i njenih izveda za vrednost  $\varepsilon = 0$ . Ako se zaustavimo na članu sa drugim stepenom veličine  $\varepsilon$  i izračunamo ove izvode, dobijemo

$$F(0) = 1, F'(0) = -\frac{1}{\sin^2\theta}, F''(0) = 3 \frac{\cos^2\theta}{\sin^4\theta}.$$

Funkcija  $U(\theta)$  tada postaje

$$U(\theta) = k \left( \frac{1}{\sin^2\theta} \varepsilon - \frac{3\cos^2\theta}{2\sin^4\theta} \varepsilon^2 \right),$$

a njen kvadrat, sa istim stepenom tačnosti, je

$$U^2(\theta) = k^2 \left( \frac{1}{\sin^4\theta} \varepsilon^2 - \frac{3\cos^2\theta}{\sin^6\theta} \varepsilon^3 \right), \quad (11.1)$$

gde smo, zbog određivanja greške, uzeli član i uz  $\varepsilon^3$ .

Potražimo sada rešenje diferencijalne jednačine (3.9) u obliku

$$r = \varepsilon A(\theta) + \varepsilon^2 B(\theta); \quad (11.2)$$

za određivanje nepoznatih funkcija  $A(\theta)$  i  $B(\theta)$  dobivamo jednačine:

$$A'^2(\theta) + A^2(\theta) = \frac{k^2}{\sin^4\theta}, \quad A'(\theta)B'(\theta) + A(\theta)B(\theta) = -\frac{3\cos^2\theta}{2\sin^6\theta}k^2. \quad (11.3)$$

Iz jednačina (11.1) i (11.2) vidimo sledeće:

1) Ovo postupak se može sprevesti samo ako je ugao  $\theta$  blizu vrednosti  $\pi/2$ . Za male vrednosti ugla  $\theta$ , bliske nuli, članovi uz  $\varepsilon$  i  $\varepsilon^2$  dobivaju velike vrednosti i uvećavaju se beskonačno kad  $\theta \rightarrow 0$ .

2) Prva jednačina (11.3), sменом  $\theta = \pi/2 - \theta'$ , svodi se na diferencijalnu jednačinu (3.8), sličaj iz odeljka III. Rešavanje ovog slučaja dato je u parametarskom obliku jednačinama (3.10), gde umesto veličine  $A$  treba staviti  $k$ .

3) Već aproksimacija sa  $r = \varepsilon A(\theta)$  istog je reda s obzorim na  $\varepsilon$  kao aproksimacija u lo, s obzirom na  $\lambda$ . Zato ćemo se zaustaviti samo na tej aproksimaciji.

L i t e r a t u r a :

1. A.S. Leake: Guidance, D.van Nostrand Co, 1955
2. J.J. Jerger: SYSTEMS PRELIMINARY DESIGN. PRINCIPLES OF GUIDED MISSILE DESIGN, D.van Nostrand Co, 1960
3. A.E. Puckett-S.Rome: GUIDED MISSILE ENGINEERING, McGraw-Hill, 1959
4. R.B. Dow: FUNDAMENTALS OF ADVANCED MISSILES, J.Wiley, 1958
5. H.S. Seifert: SPACE TECHNOLOGY, J.Wiley, 1959

## S a d r a z m i

	<u>strane</u>
Uvod . . . . .	1
Vodjenje po potega . . . . .	2
Slučaj kada je $U(\theta) = K$ . . . . .	8
Slučaj kada je $U(\theta) = \frac{A}{\cos^2 \theta}$ . . . . .	19
Slučaj kada je parametar $\lambda$ mali . . . . .	24
Slučaj kada je parametar $\lambda$ blizak jedinici . .	29
Literatura . . . . .	30

